

# FINAS後処理プログラム『RANGE』の開発

— 応力・ひずみ範囲算出及び等価線形処理プログラム —

1992年3月

動力炉・核燃料開発事業団  
大洗工学センター

この資料は、動燃事業団の開発業務を進めるため、特に限られた関係者だけに開示するものです。ついては複製、転載、引用等を行わないよう、また第三者への開示又は内容漏洩がないよう管理して下さい。また今回の開示目的以外のことには使用しないよう特に注意して下さい。

本資料についての問合せは下記に願います。

〒311-13 茨城県東茨城郡大洗町成田町4002

動力炉・核燃料開発事業団

大洗工学センター 技術開発部・技術管理室

# FINAS後処理プログラム『RANGE』の開発

—応力・ひずみ範囲算出及び等価線形処理プログラム—

根岸 仁\*，石川昌幸\*\*，笠原直人\*

浜田邦靖\*\*\*，岩田耕司\*

## 要 旨

高温構造設計基準の高度化作業及び、高度化された基準による設計評価を実施するためには、汎用非線形構造解析システム「FINAS」を用いた構造物のパラメトリックな解析と、解析結果に対する様々な後処理が必要になる。

「FINAS」の解析結果を記したポストテープに対する現行の後処理プログラムは、使用者が個別に作成した処理ルーチンが用意されているにすぎず、処理手順に統一性が無い等の問題がある。そこで、「FINAS」のポストファイルを入力とし、設計評価に必要な後処理を行うプログラム「RANGE」を開発した。

本報告書は、「RANGE」の開発経緯、機能、使用方法等を述べたものである。以下に「RANGE」の主な機能を示す。

- ① 応力・ひずみの構造物表面への外挿
- ② 応力・ひずみの評価断面に沿った平均化及び線形化
- ③ 応力・ひずみ範囲の算出
- ④ 相当応力・相当ひずみの算出
- ⑤ ひずみ集中係数の算出
- ⑥ 弾性追従パラメータの算出

上記機能により、「FINAS」の弾性、非弾性および熱応力解析の後処理を容易に行うことことが可能となり、設計評価法の高度化作業の効率化が図れた。

\* 大洗工学センター 機器構造開発部 構造工学室

\*\* 常陽産業株式会社

\*\*\* 株式会社アイ・エス・エル

Development of Post-process program "RANGE" for "FINAS"

- Stress-Strain Range Calculation and Linearize Program -

Hitoshi NEGISHI \* , Masayuki ISHIKAWA \*\* , Kuniyasu HAMADA \*\*\*

Naoto KASAHARA\* , Koji IWATA \*

### ABSTRACT

For the purpose of advancement of evaluation methods in design code and of design evaluation based on advanced design code, we analyze stress-strain behaviors of structures by FINAS computer code and process analyzed results. Present program which deal with post-tape of FINAS can not perform special evaluation to examine structural design methods. Therefore, we developed stress-strain calculation program "RANGE" which can process post-tapes of FINAS.

This report describe functions and arrangements etc. of "RANGE" program.

The main functions of "RANGE" are as follows.

- extrapolation of stress and strain to surface
- normalization and linearization of stress and strain
- estimation of stress and strain range(decision of extreme stress/strain)
- calculation of equivalent stress-strain
- estimation of strain concentration factor
- estimation of elastic follow-up parameters

By using above functions, we can easily examine elastic, inelastic and thermal stress analysis results and attempt efficient works of advancement.

---

\* Structural Engineering Section, System & Components Development Division,

O-arai Engineering Center

\*\* JOYO Industry Co. Ltd.

\*\*\* I.S.L. Co. Ltd.

## 目 次

1.はじめに	1
2.概要	2
2.1 開発目的	2
2.2 開発経緯	2
3.機能	5
3.1 評価断面の表面への外挿、平均化及び線形化	5
3.2 各レンジの算出	6
3.3 相当応力-相当ひずみ履歴	7
3.4 $\bar{\sigma}$ - $\bar{\epsilon}$ ヒステリシス	7
3.5 ひずみ集中挙動	7
3.6 応力緩和挙動	8
3.7 ミーゼス型等価応力	8
3.8 ミーゼス型等価塑性ひずみ	9
3.9 ミーゼス型等価クリープひずみ	9
3.10 等価全ひずみ	9
3.11 R方向重み付け考慮法	9
4.出力内容	11
4.1 プリント出力	11
4.2 ファイル出力	13
5.処理方法(操作手順)	29
5.1 処理フロー	29
5.2 F I N A S の実行	29
5.3 使用するファイル	29
5.4 入力データ	30
5.5 J C L の例	51
参考文献	52

謝 辞 .....	53
付録A 出力結果ファイル .....	54
付録B プリント出力 .....	54
付録C 出力ファイル中の変数名一覧 .....	54

## 図リスト

図2.1 応力・ひずみ範囲算出プログラム「RANGE」の開発経緯	4
図5.1 弾性および非弾性解析のRANGE処理フロー	50
図5.2 JCLの例	51

## 1. はじめに

本報告書は、汎用非線形構造解析システム F I N A S のポストファイルを入力とし、応力・ひずみの内・外表面への外挿、範囲算出、履歴の出力およびひずみ集中、弾性追従パラメータの算出等、構造解析の後処理が容易にできる「R A N G E」プログラムの機能、処理手順等について述べたものである。

本報告書をマニュアルとし、より多くの方々に応力・ひずみ範囲算出プログラム「R A N G E」を使用して頂き、F I N A S による構造解析結果の後処理作業に活用して頂ければ幸いである。

機器構造開発部 構造工学室

## 2. 概 要

本章では、応力・ひずみ範囲算出プログラム「RANGE」の開発目的および開発経緯等について報告する。

### 2.1 開発目的

現在、大型炉の構造健全性評価に適用すべく「もんじゅ」用に策定された高速原型炉第1種機器の高温構造設計方針の高度化作業を進めている。現行設計基準における各種評価法を高度化するためには、様々な条件における構造物の温度履歴、応力・ひずみ範囲、ひずみ集中および応力緩和挙動等を詳細に把握する必要があり、有限要素法等を用いた多くの構造解析が行われている。

動燃事業団では、大洗工学センター／機器構造開発部／構造工学室を中心に汎用非線形構造解析システムF I N A S を用いてパラメトリックな構造解析を実施している。F I N A S による解析結果を記したポストテープには、計算後の種々の角度からの検討を可能とする観点から、膨大なデータが記入してある。現行のポストテープの内容を分析するための処理プログラムは、F I N A S が非常に多くの使用方法があることに対応して、使用者にとって共通に必要とされるルーチンのみが用意されているにすぎない。そのため、設計評価法の検討に必要な、計算結果を用いた特殊な評価（極値を始点とする応力・ひずみ範囲の計算又は弾性追従パラメータの計算等）を実施することができない。

そこで、上述したようなF I N A S による解析結果の後処理を大型計算機上で容易に行うことを目的に、応力・ひずみ範囲算出プログラム「RANGE」の開発が行われた。

### 2.2 開発経緯

本プログラムの開発は昭和62年度にスタートし、当初は配管の熱応力評価用としてプログラムを開発した。当時の機能としては、弾塑性応力・ひずみの内・外表面への外挿、応力・ひずみ範囲および履歴の出力程度のものであった。（VERSION 0）

その後、昭和63年度には有限要素法（汎用非線形構造解析システムF I N A S ）における適用要素の拡張、ひずみ集中・応力緩和挙動等のパラメータの算出および半径方向

への重み付け等を考慮できるように改良を行った。 (VERSION 1A～2B)

平成元年度においては、配列の拡張と共に出力ファイルフォーマットの統一化を行うことにより、構造物強度データベース S T A R における評価プログラムの入力データを提供することができ、クリープ疲労損傷等の構造物強度評価が可能となった。 (VERSION 3)

平成 2 年度までのプログラムは、ひずみ集中／応力緩和挙動のパラメータを算出するのに、非弾性解析結果／弾性解析結果／非弾性解析結果の 3 段階の処理を行う必要があり、かなり煩雑な手順を踏んでいた。また、各処理毎に 5 つのファイルが出力されるなど、ファイル管理も容易ではなかった。さらに、評価断面の設定方法が難しく、ユーザにとって決して使い勝手の良いものとはなっていなかった。

そこで、平成 3 年度においては、上記課題の見直しを図り、エンドユーザにとって使い易いように一回の処理でひずみ集中／応力緩和挙等のパラメータが算出でき、さらに、必要なファイルのみを選択し出力できるように改造を行った。 (VERSION 4)

応力・ひずみ範囲算出プログラム「R A N G E」の開発経緯を図 2.1 に示す。

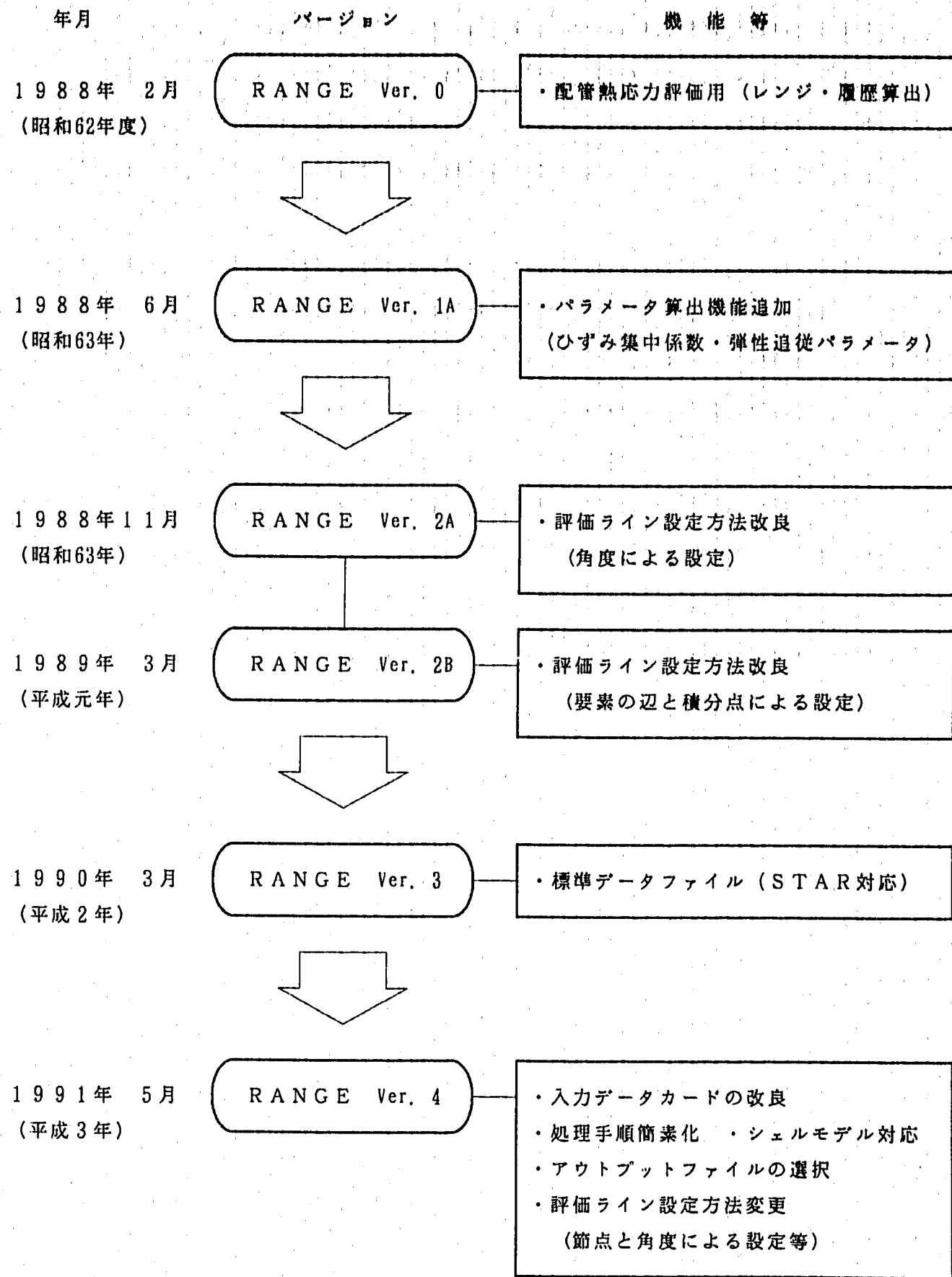


図2.1 応力・ひずみ範囲算出プログラム「RANGE」の開発経緯

### 3. 機能

弾性及び非弾性（熱）応力解析等の後処理機能として、応力・ひずみ等の表面への外挿、平均化、線形化、レンジの算出、及び相当応力-相当ひずみ履歴、 $\sigma \rightarrow \epsilon$ ヒストリシスの出力並びにひずみ集中挙動、応力緩和挙動に関するパラメータを求める機能を有する。各機能の内容について以下に示す。

#### 3.1 評価断面の表面への外挿、平均化及び線形化

表面への外挿、平均化及び線形化は、解析によって算出された応力、ひずみ、温度等を指定された評価断面ごとに、各解析ステップにおける解析値を内・外表面に外挿し、平均化及び線形化を各成分ごとに行う機能である。

< 温度 >

$T$	:	温度	(膜+曲げ+ピーク)
$T_n$	:	温度の線形成分	(膜+曲げ)
$T_m$	:	温度の膜成分	(平均値)
$T_b$	:	温度の曲げ成分	$(T_n - T_m)$
$T_p$	:	温度のピーク成分	$(T - T_n)$

< ひずみ >

$\epsilon_i$	:	ひずみ	(膜+曲げ+ピーク) $i = r, z, \theta, rz$
$\epsilon_{in}$	:	ひずみの線形成分	(膜+曲げ)
$\epsilon_{im}$	:	ひずみの膜成分	(平均値)
$\epsilon_{ib}$	:	ひずみの曲げ成分	$(\epsilon_{in} - \epsilon_{im})$
$\epsilon_{ip}$	:	ひずみのピーク成分	$(\epsilon_i - \epsilon_{in})$

< 応力 >

$\sigma_i$	:	応力	(膜+曲げ+ピーク) $i = r, z, \theta, rz$
$\sigma_{in}$	:	応力の線形成分	(膜+曲げ)
$\sigma_{im}$	:	応力の膜成分	(平均値)
$\sigma_{ib}$	:	応力の曲げ成分	$(\sigma_{in} - \sigma_{im})$

$\sigma_{ip}$  : 応力のピーク成分  $(\sigma_B - \sigma_{in})$

### 3.2 各レンジの算出

レンジの算出は、ひずみレンジが最大となる極値 2 時点 A, B を解析結果ファイルよりプログラム内部で決定、入力データにより時点指定、0からのレンジの指定の 3 つの指定方法があり、極値 2 時点を決定するひずみ（応力）成分はオプションにより次の値で決定する。

- ・  $\Delta \epsilon_{eq}$  : 全ひずみレンジの Mises 型相当ひずみ
- ・  $\Delta \bar{\epsilon}$  :  $\Delta \bar{\epsilon}^e + \Delta \bar{\epsilon}^p + \Delta \bar{\epsilon}^c$
- ・  $\Delta \epsilon_{eqn}$  : 線形化したひずみレンジ
- ・  $\sigma_i$  : 応力成分  $(\sigma_r, \sigma_z, \sigma\theta, \tau_{rz})$

以下に示す各変数のレンジは、この 2 時点間により求める。

#### < 温度 >

- $\Delta T_1$  : 等価線形温度レンジ  $2 \times \{(T_b)_B - (T_b)_A\}$
- $\Delta T_2$  : ピーク温度レンジ  $(T_p)_B - (T_p)_A$

#### < ひずみ >

- $\Delta \epsilon_1$  : 全ひずみレンジ  $(\Delta \epsilon_1)_B - (\Delta \epsilon_1)_A$
- $\Delta \epsilon_{in}$  : 膜+曲げひずみレンジ  $(\Delta \epsilon_{in})_B - (\Delta \epsilon_{in})_A$
- $\Delta \epsilon_{im}$  : 膜ひずみレンジ  $(\Delta \epsilon_{im})_B - (\Delta \epsilon_{im})_A$
- $\Delta \epsilon_{ib}$  : 曲げひずみレンジ  $(\Delta \epsilon_{ib})_B - (\Delta \epsilon_{ib})_A$
- $\Delta \epsilon_{ip}$  : ピークひずみレンジ  $(\Delta \epsilon_{ip})_B - (\Delta \epsilon_{ip})_A$
- $\Delta \epsilon_{eq}$  :  $\Delta \epsilon_1$  による相当ひずみレンジ (Mises 型)
- $\Delta \bar{\epsilon}$  : 相当ひずみレンジ
- $\Delta \bar{\epsilon}^p$  : 相当塑性ひずみレンジ (Mises 型)
- $\Delta \bar{\epsilon}^c$  : 相当クリープひずみレンジ (Mises 型)
- $\Delta \epsilon_{eqn}$  :  $\Delta \epsilon_{in}$  による相当ひずみレンジ (Mises 型)
- $\Delta \epsilon_{eqF}$  :  $\Delta \epsilon_{ip}$  による相当ひずみレンジ (Mises 型)
- $\Delta \bar{\epsilon}_n$  :  $1.5/(1+\nu) \cdot \Delta \epsilon_{eqn}$

$$\Delta \bar{\epsilon}_r : \Delta \bar{\epsilon} - \Delta \bar{\epsilon}_n$$

&lt;応力&gt;

$$\Delta \bar{\sigma} : \text{相当応力レンジ (Mises型)}$$

$$\Delta \bar{\sigma}_n : \sigma_{in} \text{による相当応力レンジ (Mises型)}$$

$$S : \text{応力強さレンジ (Tresca型)}$$

$$S_n : \sigma_{in} \text{による応力強さレンジ (Tresca型)}$$

### 3.3 相当応力-相当ひずみ履歴

極値時点 A ~ B に至る相当応力-相当ひずみ履歴を求める。

$$\text{相当応力 } \Delta \bar{\sigma} - \text{相当ひずみ } \Delta \bar{\epsilon}$$

$$\Delta \bar{\epsilon}_n$$

$$\Delta \bar{\epsilon}_r$$

$$\Delta \epsilon_{eqn}$$

$$\Delta \epsilon_{eqf}$$

### 3.4 $\bar{\sigma}$ - $\bar{\epsilon}$ ヒステリシス

Mises型の相当応力  $\bar{\sigma}$ 、相当ひずみ  $\bar{\epsilon}$  ヒステリシスを求める。

・  $\bar{\sigma}$  Mises型相当応力 正負は  $\sigma_z$  の正負に合わせる。

・  $\bar{\epsilon}$   $\bar{\sigma} / E + \bar{\epsilon}^p + \bar{\epsilon}^c$   $\bar{\sigma}$  は上記の値。

$\bar{\epsilon}^p$  は相当塑性ひずみ。正負は  $\epsilon_z^p$  の正負。

$\bar{\epsilon}^c$  は相当クリープひずみ。正負は  $\epsilon_z^c$  の正負。

### 3.5 ひずみ集中挙動

極値時点 A ~ B に至るひずみ集中係数  $K\epsilon$  及び弾性追従パラメータ  $q_{ep}$  を求める。

・  $K\epsilon_1$  ひずみ集中係数  $K\epsilon_1 = \Delta \epsilon_1 / \Delta \epsilon_{1e}$

・  $q_{ep1}$  弾性追従パラメータ  $q_{ep1} = \frac{\Delta \epsilon_1 - \Delta \epsilon_{1e}}{\Delta \epsilon_{1e}} \cdot (\Delta \bar{\sigma} / \Delta \bar{\sigma}^*)$

ここで右上添字 e は弾性解析結果を示し

添字のないものは非弾性解析結果を示す。

以下に  $K \epsilon_i$ ,  $q_{eqi}$  と  $\Delta \epsilon_i$  との対応を示す。

$K \epsilon$	,	$q_{eq}$	-----	$\Delta \epsilon$
$K \epsilon_n$	,	$q_{eqn}$	-----	$\Delta \epsilon_n$
$K \epsilon_p$	,	$q_{eqp}$	-----	$\Delta \epsilon_p$
$K \epsilon_{eqn}$	,	$q_{eqeqn}$	-----	$\Delta \epsilon_{eqn}$
$K \epsilon_{eqp}$	,	$q_{eqeqp}$	-----	$\Delta \epsilon_{eqp}$
$K \epsilon_{zm}$	,	$q_{eqzm}$	-----	$\Delta \epsilon_{zm}$
$K \epsilon_{zb}$	,	$q_{eqzb}$	-----	$\Delta \epsilon_{zb}$
$K \epsilon \theta_m$	,	$q_{eq} \theta_m$	-----	$\Delta \epsilon \theta_m$
$K \epsilon \theta_b$	,	$q_{eq} \theta_b$	-----	$\Delta \epsilon \theta_b$

### 3.6 応力緩和挙動

クリープ解析における保持中の応力緩和挙動及び弾性追従パラメータ  $q_{ec}$  の履歴を求める機能である。

$$\cdot q_{ec} : \text{クリープ弾性追従パラメータ } q_{ec} = \frac{\Delta \epsilon^e \cdot E}{\Delta \bar{\sigma}}$$

$\Delta \bar{\sigma}$  温度分布定常時点の Mises 型相当応力（原点ベース）との保持終了時点の Mises 型相当応力（原点ベース）の差の絶対値。  
この両時点は、入力データにより指定。

$\Delta \epsilon^e$  上記 2 時点間のクリープひずみレンジ  $\Delta \bar{\epsilon}^e$  による Mises 型相当クリープひずみレンジ。

E 縦弾性係数（保持中の温度における値）

### 3.7 ミーゼス型等価応力

ミーゼス型相当応力は以下の式で算出される。

$$\sigma_{eq} = \frac{1}{\sqrt{2}} \sqrt{(\sigma_1 - \sigma_2)^2 + (\sigma_2 - \sigma_3)^2 + (\sigma_3 - \sigma_1)^2 + 6(\tau_{12}^2 + \tau_{23}^2 + \tau_{31}^2)}$$

$\sigma_1, \sigma_2, \sigma_3, \tau_{12}, \tau_{23}, \tau_{31}$  : 応力成分

## 3.8 ミーゼス型等価塑性ひずみ

$$\epsilon^p_{eq} = \frac{\sqrt{2}}{3} \sqrt{(\epsilon_1 - \epsilon_2)^2 + (\epsilon_2 - \epsilon_3)^2 + (\epsilon_3 - \epsilon_1)^2 + 1.5(\gamma_{12}^2 + \gamma_{23}^2 + \gamma_{31}^2)}$$

$\epsilon_1, \epsilon_2, \epsilon_3, \gamma_{12}, \gamma_{23}, \gamma_{31}$ : 塑性ひずみ成分

## 3.9 ミーゼス型等価クリープひずみ

$$\epsilon^c_{eq} = \frac{\sqrt{2}}{3} \sqrt{(\epsilon_1 - \epsilon_2)^2 + (\epsilon_2 - \epsilon_3)^2 + (\epsilon_3 - \epsilon_1)^2 + 1.5(\gamma_{12}^2 + \gamma_{23}^2 + \gamma_{31}^2)}$$

$\epsilon_1, \epsilon_2, \epsilon_3, \gamma_{12}, \gamma_{23}, \gamma_{31}$ : クリープひずみ成分

## 3.10 等価全ひずみ

$$\epsilon_{eq} = \frac{\sigma^e_{eq}}{E} + \epsilon^p_{eq} + \epsilon^c_{eq}$$

$\epsilon_{eq}$ : 全ひずみ (弾塑性解析)

$\sigma^e_{eq}$ : MISES型相当応力増分 (弾性解析)

E : 縦弾性係数

$\epsilon^p_{eq}$ : ミーゼス型相当塑性ひずみ

$\epsilon^c_{eq}$ : ミーゼス型相当クリープひずみ

## 3.11 R方向重み付け考慮法

・平均値 f の算出法

$$\bar{f} = \frac{\int_{r_1}^{r_0} f(r) r dr}{\frac{1}{2} (r_0^2 - r_1^2)}$$

$\theta$  方向については重みを考えない。

$$\bar{f} = \frac{\int_{r_1}^{r_0} f(r) dr}{(r_0 - r_1)}$$

$r = r_m$  に関するモーメント  $M_b$  の算出

$$r_m = \frac{2(r_0^2 + r_0 r_1 + r_1^2)}{3(r_0 + r_1)}$$

$$M_b = \int_{r_1}^{r_0} f(r)(r - r_m) dr$$

$$\Delta f = \frac{36(r_0 + r_1) M_b}{(r_0 - r_1)(r_0^2 + r_0 r_1 + r_1^2)}$$

$$f_0 = \frac{r_0 - r_m}{r_0 - r_1} \Delta f$$

ここで  $\Delta f = f_0 - f_1$

$$f_1 = \frac{r_1 - r_m}{r_0 - r_1} \Delta f$$

$\theta$  方向成分については

$$r_m = \frac{(r_0 + r_1)}{2}$$

$$M_b = \int_{r_1}^{r_0} f(r)(r - r_m) dr$$

$$f_0 = f + \frac{6 M_b}{(r_0 - r_1)^2}$$

$$f_1 = f - \frac{6 M_b}{(r_0 - r_1)^2}$$

## 4. 出 力 内 容

レンジ後処理結果は、プリント出力及びファイル出力される。ファイル出力は、F I N A S の X Y プロット用データ及び強度評価用標準解析データ (S T A R) 用標準フォーマットデータの出力が可能である。

### 4.1 プリント出力

指定された評価断面ごとに、各変数をプリントする機能である。また、入力オプションによりプリント出力をしないことが可能である。以下にプリント内容を示す。なお、プリント出力される応力、ひずみの単位は kg/mm<sup>2</sup>、%である。

- ・各変数の極値 2 時点 A, B により定まるレンジ

$\Delta T_1, \Delta T_2$  及び  $T, T_n, T_m, T_b, T_f$  (時点 A, B)

$\Delta \epsilon_{eq}$  及び  $\epsilon_i$  (時点 A, B)

$\Delta \epsilon_{eqn}$  及び  $\epsilon_{in}$  (時点 A, B)

$\Delta \epsilon_{eqm}$  及び  $\epsilon_{im}$  (時点 A, B)

$\Delta \epsilon_{eqb}$  及び  $\epsilon_{ib}$  (時点 A, B)

$\Delta \epsilon_{eqp}$  及び  $\epsilon_{ip}$  (時点 A, B)

$\Delta \bar{\epsilon}^p$  及び  $\epsilon_{ip}^p$  (時点 A, B)

$\Delta \bar{\epsilon}^c$  及び  $\epsilon_{ic}^c$  (時点 A, B)

$\Delta \bar{\epsilon}, \Delta \bar{\epsilon}_n, \Delta \bar{\epsilon}_f, \Delta \epsilon_{eqn}, \Delta \epsilon_{eqm}, \Delta \bar{\epsilon}^p, \Delta \bar{\epsilon}^c$

$\Delta \epsilon_{eq}$  及び  $\epsilon_i$

$\Delta \epsilon_{eqn}$  及び  $\epsilon_{in}$

$\Delta \epsilon_{eqm}$  及び  $\epsilon_{im}$

$\Delta \epsilon_{eqb}$  及び  $\epsilon_{ib}$

$\Delta \epsilon_{eqp}$  及び  $\epsilon_{ip}$

$\Delta \bar{\epsilon}^p$  及び  $\epsilon_{ip}^p$

$\Delta \bar{\epsilon}^c$  及び  $\epsilon_{ic}^c$

$\Delta \bar{\sigma}$  及び  $\sigma_i$  (時点 A, B)

$\Delta \bar{\sigma}_n$  及び  $\sigma_{in}$  (時点 A, B)  
 $S$  及び  $\sigma_i$  (時点 A, B)  
 $S_n$  及び  $\sigma_{in}$  (時点 A, B)  
 $\Delta \bar{\sigma}^c, \Delta \bar{\epsilon}^c$  及び  $\sigma_i, \epsilon_i^c$  (クリープ 2 時点)

## ・内外表面における時刻歴

 $T, T_h, T_m, T_b, T_p$  $\epsilon_i, \epsilon_{in}, \epsilon_{im}, \epsilon_{ib}, \epsilon_{ip}, \epsilon_{ip^c}, \epsilon_{ic}$ ・正負を考慮した  $\bar{\sigma}-\bar{\epsilon}$  ヒステリシス

## ・極値 A, B 2 時点における板厚内分布

 $T, T_h, T_m, T_b, T_p$  $\epsilon_i, \epsilon_{in}, \epsilon_{im}, \epsilon_{ib}, \epsilon_{ip}$  $\sigma_i, \sigma_{in}, \sigma_{im}, \sigma_{ib}, \sigma_{ip}$ 

## ・極値時点 A から B までのレンジ履歴

 $\Delta T_1, \Delta T_2$  $\Delta \epsilon_i, \Delta \epsilon_{in}, \Delta \epsilon_{im}, \Delta \epsilon_{ib}, \Delta \epsilon_{ip}$  $\Delta \epsilon, \Delta \epsilon_h, \Delta \epsilon_p, \Delta \epsilon_{eqn}, \Delta \epsilon_{eqp}$  $\Delta \bar{\sigma}, \Delta \bar{\sigma}_n, S, S_n$  $\Delta \bar{\sigma}, \Delta \bar{\epsilon}, \Delta \bar{\epsilon}^p, \Delta \bar{\epsilon}^c$  $\Delta \bar{\sigma}^c / 2 \sigma_y, \Delta \bar{\epsilon} / 2 \epsilon_y$  $\bar{\sigma}^c, \Delta \bar{\sigma}^c, \Delta \bar{\epsilon}^c$ ・ $K_\epsilon, q_{ep}, q_{ec}$  パラメータの分布 $K_\epsilon, K_{\epsilon_h}, K_{\epsilon_p}, K_{\epsilon_{nl}}, K_{\epsilon_{pl}}$  $K_{\epsilon_{zm}}, K_{\epsilon_{zb}}, K_{\epsilon\theta_m}, K_{\epsilon\theta_b}$  $q_{ep}, q_{ep_h}, q_{ep_p}, q_{ep_{nl}}, q_{ep_{pl}}$  $q_{ep_{zm}}, q_{ep_{zb}}, q_{ep\theta_m}, q_{ep\theta_b}$  $q_{ec}$ ・ $K_\epsilon, q_{ep}, q_{ec}$  パラメータの履歴 $K_\epsilon, K_{\epsilon_h}, K_{\epsilon_p}, K_{\epsilon_{nl}}, K_{\epsilon_{pl}}$

$K_{\epsilon_{\text{sa}}}$ ,  $K_{\epsilon_{\text{sb}}}$ ,  $K_{\epsilon \theta_m}$ ,  $K_{\epsilon \theta_b}$

$q_{\text{ep}}$ ,  $q_{\text{erp}}$ ,  $q_{\text{erf}}$ ,  $q_{\text{ern}}$ ,  $q_{\text{err}}$

$q_{\text{epsa}}$ ,  $q_{\text{ersb}}$ ,  $q_{\text{er}\theta_m}$ ,  $q_{\text{er}\theta_b}$

$q_{\text{ec}}$

#### 4.2 ファイル出力

RANGEの結果はFINASのプロット用書式"XVALU", "YVALU"データの型式で出力される。また、必要なデータのみの出力もオプションにて選択が可能である。

ファイル出力される応力、ひずみの単位はkg/mm<sup>2</sup>, %である。

以下にRANGE結果ファイルの内容を示す。

##### ・非弾性結果ファイル

FT01 : T,  $\epsilon$ ,  $\sigma$ ,  $\Delta \epsilon$  の板厚内分布 (極値 2 時点 A, B)

FT02 : T,  $\epsilon$ ,  $\sigma$  の分布 (表面に沿った分布) (極値 2 時点 A, B)

$\Delta T$ ,  $\Delta \epsilon$ ,  $\Delta \sigma$ ,  $K\epsilon$ ,  $q_{\text{ep}}$ ,  $q_{\text{ec}}$  の分布 (表面に沿った分布)

FT03 : T,  $\epsilon$ ,  $\sigma$  の時刻歴及び正負を考慮した  $\bar{\epsilon}$  ヒステリシス

FT04 :  $\Delta T$ ,  $\Delta \epsilon$ ,  $\Delta \sigma$ ,  $K\epsilon$ ,  $q_{\text{ep}}$ ,  $q_{\text{ec}}$  の履歴 (時点 A ~ B まで)

FT09 :  $\Delta T$ ,  $\Delta \epsilon$ ,  $\Delta \sigma$  の分布

##### ・弾性結果ファイル

FT11 : T,  $\epsilon$ ,  $\sigma$ ,  $\Delta \epsilon$  の板厚内分布 (極値 2 時点 A, B)

FT12 : T,  $\epsilon$ ,  $\sigma$  の分布 (表面に沿った分布) (極値 2 時点 A, B)

$\Delta T$ ,  $\Delta \epsilon$ ,  $\Delta \sigma$ ,  $K\epsilon$ ,  $q_{\text{ep}}$ ,  $q_{\text{ec}}$  の分布 (表面に沿った分布)

FT13 : T,  $\epsilon$ ,  $\sigma$  の時刻歴及び正負を考慮した  $\bar{\epsilon}$  ヒステリシス

FT14 :  $\Delta T$ ,  $\Delta \epsilon$ ,  $\Delta \sigma$ ,  $K\epsilon$ ,  $q_{\text{ep}}$ ,  $q_{\text{ec}}$  の履歴 (時点 A ~ B まで)

FT19 :  $\Delta T$ ,  $\Delta \epsilon$ ,  $\Delta \sigma$  の分布

各ファイルはFINASのプロット用書式"XVALU", "YVALU"データが出力される。出力される各ファイルには、識別番号と変数名(タイトル)(付録C-1参照)が付けられ、識別番号とタイトルで変数を分類している。また変数名は変更可能で

あり、ソースの最後で DATA 文で与えている。(ソースはデータセット P0D2F12, RANGB 4である。)

識別番号と各変数との対応を以下に示す。

(1) F T 0 1 (F T 1 1) T,  $\epsilon$ ,  $\sigma$ ,  $\Delta \epsilon$  の板厚内分布

XVALU □ □ □ □ □

i k l j

i : サイクル(入力データの "CONTROL" データにおける kcycl の値)

k : 評価断面(入力データの "LINE" データで ioln=1 とした評価断面の順に 1~9)

$l = 02$  : 各評価断面上の全点の板厚方向距離(内、外面を含む)( $l = 04$  は逆方向)

= 03 : 各評価断面上の内・外面だけの板厚方向距離( $l = 05$  は逆方向)

= 11~13 : 表面における X, Y, Z 座標

= 31 : 極値時点における時間(ただし、XVALU として出力される。)

j :  $l = 31$  の場合 極値時点 = 1 : 時点 A = 2 : 時点 B

: その他の場合 = 0

XVALU □ □ □ □ □

i j k l

i : サイクル(入力データの "CONTROL" データにおける kcycl の値)

$j = 1$  : 時点 A

= 2 : 時点 B

= 3 : ひずみレンジ( $\Delta \epsilon$ )の場合

= 4 ~ 9 : "PART" データで指定したステップ

k : 評価断面(入力データの "LINE" データで ioln=1 とした評価断面の順に 1~9)

$\ell$	变数	$\ell$	变数	$\ell$	变数	$\ell$	变数
01	T	11	$\bar{\epsilon}$ ( $\bar{\epsilon}^+$ + $\bar{\epsilon}^0$ + $\bar{\epsilon}^-$ )	30-34	$\epsilon_j$	65-69	$\sigma_j$
02	$T_n$			35-39	$\epsilon_{jn}$	70-74	$\sigma_{jn}$
03	$T_m$	21	$\sigma$	40-44	$\epsilon_{jm}$	75-79	$\sigma_{jm}$
04	$T_b$			45-49	$\epsilon_{jb}$	80-84	$\sigma_{jb}$
05	$T_p$			50-54	$\epsilon_{jp}$	85-89	$\sigma_{jp}$
				55-59	$\epsilon_{j^p}$		
				60-64	$\epsilon_{jc}$		

## FT01 (11) ファイル その1

温度: °C, 応力: kg/mm<sup>2</sup>, ひずみ: %

X, YVALU	I D	出 力 項 目
XVALU	1j020	評価ライン上の全点の板厚方向距離 (含内外面, 座標小⇒大)
	1j030	評価ライン上の板厚方向距離 (内外面のみ, 座標小⇒大)
	1j040	評価ライン上の全点の板厚方向距離 (含内外面, 座標大⇒小)
	1j050	評価ライン上の板厚方向距離 (内外面のみ, 座標大⇒小)
YVALU	ijk01	T : 温度 (膜+曲げ+ピーク成分)
	ijk02	T <sub>n</sub> : 温度 (膜+曲げ成分)
	ijk03	T <sub>m</sub> : 温度 (膜成分)
	ijk04	T <sub>b</sub> : 温度 (曲げ成分)
	ijk05	T <sub>p</sub> : 温度 (ピーク成分)
	ijk3ℓ	ε : ひずみ (膜+曲げ+ピーク成分) (ℓ=0, 1, 2, 3⇒r, z, θ, rz)
	ijk3ℓ	ε <sub>n</sub> : ひずみ (膜+曲げ成分) (ℓ=5, 6, 7, 8⇒r, z, θ, rz)
	ijk4ℓ	ε <sub>m</sub> : ひずみ (膜成分) (ℓ=0, 1, 2, 3⇒r, z, θ, rz)
	ijk4ℓ	ε <sub>b</sub> : ひずみ (曲げ成分) (ℓ=5, 6, 7, 8⇒r, z, θ, rz)
	ijk5ℓ	ε <sub>p</sub> : ひずみ (ピーク成分) (ℓ=0, 1, 2, 3⇒r, z, θ, rz)
	ijk5ℓ	ε <sup>p</sup> : 塑性ひずみ (ℓ=5, 6, 7, 8⇒r, z, θ, rz)
	ijk6ℓ	ε <sup>c</sup> : クリープひずみ (ℓ=0, 1, 2, 3⇒r, z, θ, rz)
	ijk6ℓ	σ : 応力 (膜+曲げ+ピーク成分) (ℓ=5, 6, 7, 8⇒r, z, θ, rz)
	ijk7ℓ	σ <sub>n</sub> : 応力 (膜+曲げ成分) (ℓ=0, 1, 2, 3⇒r, z, θ, rz)
	ijk7ℓ	σ <sub>m</sub> : 応力 (膜成分) (ℓ=5, 6, 7, 8⇒r, z, θ, rz)
	ijk8ℓ	σ <sub>b</sub> : 応力 (曲げ成分) (ℓ=0, 1, 2, 3⇒r, z, θ, rz)
	ijk8ℓ	σ <sub>p</sub> : 応力 (ピーク成分) (ℓ=5, 6, 7, 8⇒r, z, θ, rz)

i : サイクル番号 (1 ~ 9)

j : 極値時点 (極値時点 A ··· 1, 極値時点 B ··· 2, ひずみレンジ ··· 3)

k : 評価ライン番号 (1 ~ 9)

ℓ : 成分番号

FT01 (11) ファイル その2 溫度: °C, 応力: kg/mm<sup>2</sup>, ひずみ: %

X, YVALU	ID	出 力 項 目
YVALU	i3k3 $\ell$	$\Delta \epsilon$ : ひずみレンジ (膜+曲げ+ピーク成分)
	i3k3 $\ell$	$\Delta \epsilon_n$ : ひずみレンジ (膜+曲げ成分) ( $\ell=5, 6, 7, 8 \Rightarrow r, z, \theta, rz$ )
	i3k4 $\ell$	$\Delta \epsilon_m$ : ひずみレンジ (膜成分) ( $\ell=0, 1, 2, 3 \Rightarrow r, z, \theta, rz$ )
	i3k4 $\ell$	$\Delta \epsilon_b$ : ひずみレンジ (曲げ成分) ( $\ell=5, 6, 7, 8 \Rightarrow r, z, \theta, rz$ )
	i3k5 $\ell$	$\Delta \epsilon_p$ : ひずみレンジ (ピーク成分) ( $\ell=0, 1, 2, 3 \Rightarrow r, z, \theta, rz$ )
	i3k5 $\ell$	$\Delta \epsilon^p$ : 塑性ひずみレンジ ( $\ell=5, 6, 7, 8 \Rightarrow r, z, \theta, rz$ )
	i3k6 $\ell$	$\Delta \epsilon^c$ : クリープひずみレンジ ( $\ell=0, 1, 2, 3 \Rightarrow r, z, \theta, rz$ )

i : サイクル番号 (1 ~ 9)

j : 極値時点 (極値時点A . . . 1, 極値時点B . . . 2, ひずみレンジ . . . 3)

k : 評価ライン番号 (1 ~ 9)

 $\ell$  : 成分番号

## (2) FT02 (FT12) T, ε, σ の分布 (表面に沿った分布)

 $\Delta T, \Delta \epsilon, \Delta \sigma, K\epsilon, q_{ep}, q_{ec}$  の分布

XVALU □ □ □ □ □

0 ——

i l j

i : サイクル (入力データの "CONTROL" データにおける kcycl の値)

l = 01 : 表面に沿った距離

= 11~13 : 表面における X, Y, Z 座標

= 31 : 極値時点における時間 (ただし, YVALU として出力される。)

j : 内面, 外面 内面: =1 外面: =2

XVALU □ □ □ □ □

—

i j k l

i : サイクル (入力データの "CONTROL" データにおける kcycl の値)

j = 1 : T, ε, σ (時点A)

= 2 : T, ε, σ (時点B)

= 3 :  $\Delta T, \Delta \epsilon, \Delta \sigma, K\epsilon, q_{ep}, q_{ec}$ 

= 4 ~ 9 : "PART" データで指定したステップ

l : 内面, 外面 内面: =1 外面: =2

k :

j = 1, 2, 4 ~ 9 のとき

k	変数	k	変数	k	変数	k	変数
01	T	30-34	$\epsilon_j$	65-69	$\sigma_j$		
02	$T_n$	35-39	$\epsilon_{jn}$	70-74	$\sigma_{jn}$		
03	$T_m$	40-44	$\epsilon_{jm}$	75-79	$\sigma_{jm}$		
04	$T_b$	45-49	$\epsilon_{jb}$	80-84	$\sigma_{jb}$		
05	$T_F$	50-54	$\epsilon_{jF}$	85-89	$\sigma_{jF}$		
		55-59	$\epsilon_{jp}$				
		60-64	$\epsilon_{jc}$				

j = 1, 2, 4~9 のとき

k	変数	k	変数	k	変数	k	変数
01	$\Delta T_1$	11	$\Delta \bar{\epsilon}$	21	$\Delta \bar{\sigma}$	30-34	$\Delta \epsilon_j$
02	$\Delta T_2$	12	$\Delta \bar{\epsilon}_n$	22	$\Delta \bar{\sigma}_n$	35-39	$\Delta \epsilon_{jn}$
		13	$\Delta \bar{\epsilon}_p$	23	S	40-44	$\Delta \epsilon_{jm}$
		14	$\Delta \bar{\epsilon}_{ni}$	24	$S_n$	45-49	$\Delta \epsilon_{jb}$
		15	$\Delta \bar{\epsilon}_p i$	25	$\Delta \bar{\sigma}^\circ / 2\sigma_y$	50-54	$\Delta \epsilon_{jf}$
		16	$\Delta \bar{\epsilon}^p$	26	$\Delta \epsilon / 2\epsilon_y$	55-59	$\Delta \epsilon_{jp}$
		17	$\Delta \bar{\epsilon}^c$	27	$\bar{\sigma}$	60-64	$\Delta \epsilon_{jc}$
				28	$\Delta \bar{\sigma}^\circ$		
				29	$\Delta \bar{\epsilon}^\circ$		

k	変数	k	変数	k	変数	k	変数
70	$K\epsilon$	75	$K\epsilon_{zm}$	80	$q_{ep}$	85	$q_{epzm}$
71	$K\epsilon_n$	76	$K\epsilon_{zb}$	81	$q_{epn}$	86	$q_{epzb}$
72	$K\epsilon_p$	77	$K\epsilon\theta_m$	82	$q_{ep\theta}$	87	$q_{ep\theta_m}$
73	$K\epsilon_{ni}$	78	$K\epsilon\theta_b$	83	$q_{epn\theta}$	88	$q_{ep\theta_b}$
74	$K\epsilon_{pi}$	79	$K_{eps}$	84	$q_{ep\theta\theta}$	90	$q_{ec}$

FT02 (12) ファイル その1 溫度: °C, 応力: kg/mm<sup>2</sup>, ひずみ: %

X, YVALU	ID	出力項目
YVALU	ij01 $\ell$	T : 溫度 (膜+曲げ+ピーク成分) ( $\ell = 1, 2$ = 内面, 外面)
	ij02 $\ell$	T <sub>n</sub> : 溫度 (膜+曲げ成分) ( $\ell = 1, 2$ = 内面, 外面)
	ij03 $\ell$	T <sub>m</sub> : 溫度 (膜成分) ( $\ell = 1, 2$ = 内面, 外面)
	ij04 $\ell$	T <sub>b</sub> : 溫度 (曲げ成分) ( $\ell = 1, 2$ = 内面, 外面)
	ij05 $\ell$	T <sub>r</sub> : 溫度 (ピーク成分) ( $\ell = 1, 2$ = 内面, 外面)
	ij3k $\ell$	$\epsilon$ : ひずみ (膜+曲げ+ピーク成分) ( $k = 0, 1, 2, 3 \Rightarrow r, z, \theta, rz, \ell$ = 同上)
	ij3k $\ell$	$\epsilon_n$ : ひずみ (膜+曲げ成分) ( $k = 5, 6, 7, 8 \Rightarrow r, z, \theta, rz, \ell$ = 同上)
	ij4k $\ell$	$\epsilon_m$ : ひずみ (膜成分) ( $k = 0, 1, 2, 3 \Rightarrow r, z, \theta, rz, \ell$ = 同上)
	ij4k $\ell$	$\epsilon_b$ : ひずみ (曲げ成分) ( $k = 5, 6, 7, 8 \Rightarrow r, z, \theta, rz, \ell$ = 同上)
	ij5k $\ell$	$\epsilon_r$ : ひずみ (ピーク成分) ( $k = 0, 1, 2, 3 \Rightarrow r, z, \theta, rz, \ell$ = 同上)
	ij5k $\ell$	$\epsilon_p$ : 塑性ひずみ ( $k = 5, 6, 7, 8 \Rightarrow r, z, \theta, rz, \ell$ = 同上)
	ij6k $\ell$	$\epsilon_c$ : クリープひずみ ( $k = 0, 1, 2, 3 \Rightarrow r, z, \theta, rz, \ell$ = 同上)
	ij6k $\ell$	$\sigma$ : 応力 (膜+曲げ+ピーク成分) ( $k = 5, 6, 7, 8 \Rightarrow r, z, \theta, rz, \ell$ = 同上)
	ij7k $\ell$	$\sigma_n$ : 応力 (膜+曲げ成分) ( $k = 0, 1, 2, 3 \Rightarrow r, z, \theta, rz, \ell$ = 同上)
	ij7k $\ell$	$\sigma_m$ : 応力 (膜成分) ( $k = 5, 6, 7, 8 \Rightarrow r, z, \theta, rz, \ell$ = 同上)
	ij8k $\ell$	$\sigma_b$ : 応力 (曲げ成分) ( $k = 0, 1, 2, 3 \Rightarrow r, z, \theta, rz, \ell$ = 同上)
	ij8k $\ell$	$\sigma_r$ : 応力 (ピーク成分) ( $k = 5, 6, 7, 8 \Rightarrow r, z, \theta, rz, \ell$ = 同上)

i : サイクル番号 (1 ~ 9)

j : 極値時点 (極値時点A ... 1, 極値時点B ... 2, ΔT, Δε, Δσ ... 3)

k : 評価ライン番号 (1 ~ 9)

## FT02 (12) ファイル その2

温度: ℃, 応力: kg/mm<sup>2</sup>, ひずみ: %

X, YVALU	ID	出 力 項 目
YVALU	i301ℓ	$\Delta T$ : 等価線形温度レンジ ( $\ell = 1, 2 = \text{内面, 外面}$ )
	i302ℓ	$\Delta T$ : ピーク温度レンジ (同上)
	i311ℓ	$\Delta \bar{\epsilon}$ : 相当ひずみレンジ ( $\Delta \epsilon$ による, Mises型) (同上)
	i312ℓ	$\Delta \bar{\epsilon}_n$ : $(1.5/(1-\nu)) \times \Delta \epsilon_{eqn}$ (同上)
	i313ℓ	$\Delta \bar{\epsilon}_p$ : $\Delta \bar{\epsilon} - \Delta \bar{\epsilon}_n$ (同上)
	i314ℓ	$\Delta \epsilon_{eqn}$ : $\Delta \epsilon_n$ による相当ひずみレンジ (Mises型) (同上)
	i321ℓ	$\Delta \bar{\sigma}$ : 相当応力レンジ (Mises型, Sp) (同上)
	i322ℓ	$\Delta \bar{\sigma}_n$ : $\Delta P_n$ による相当ひずみレンジ (Mises型, Sn) (同上)
	i323ℓ	S: 応力強さレンジ (Tresca型) (同上)
	i324ℓ	$S_n$ : $\Delta \sigma_n$ による応力強さレンジ (Tresca型) (同上)
	i327ℓ	$\bar{\sigma}$ : 相当応力 (Mises型) (同上)
	i33kℓ	$\Delta \epsilon$ : 全ひずみレンジ ( $k=0, 1, 2, 3 \Rightarrow r, z, \theta, rz, \ell = \text{同上}$ )
	i33kℓ	$\Delta \epsilon_n$ : (膜+曲)ひずみレンジ ( $k=5, 6, 7, 8 \Rightarrow r, z, \theta, rz, \ell = \text{同上}$ )
	i34kℓ	$\Delta \epsilon_m$ : 膜ひずみレンジ ( $k=0, 1, 2, 3 \Rightarrow r, z, \theta, rz, \ell = \text{同上}$ )
	i34kℓ	$\Delta \epsilon_b$ : 曲げひずみレンジ ( $k=5, 6, 7, 8 \Rightarrow r, z, \theta, rz, \ell = \text{同上}$ )
	i35kℓ	$\Delta \epsilon_p$ : ピークひずみレンジ ( $k=0, 1, 2, 3 \Rightarrow r, z, \theta, rz, \ell = \text{同上}$ )
	i370ℓ	$K\epsilon$ : $\Delta \bar{\epsilon}$ によるひずみ集中係数 (非弾性/弾性) ( $\ell = \text{同上}$ )
	i371ℓ	$K\epsilon_n$ : $\Delta \bar{\epsilon}_n$ によるひずみ集中係数 (非弾性/弾性) ( $\ell = \text{同上}$ )
	i372ℓ	$K\epsilon_p$ : $\Delta \bar{\epsilon}_p$ によるひずみ集中係数 (非弾性/弾性) ( $\ell = \text{同上}$ )
	i380ℓ	$q_{ep}$ : $\Delta \bar{\epsilon}$ による弾性追従パラメータ ( $\ell = \text{同上}$ )
	i381ℓ	$q_{epn}$ : $\Delta \bar{\epsilon}_n$ による弾性追従パラメータ ( $\ell = \text{同上}$ )
	i382ℓ	$q_{epf}$ : $\Delta \bar{\epsilon}_p$ による弾性追従パラメータ ( $\ell = \text{同上}$ )
	i390ℓ	$q_{ec}$ : クリープ弾性追従パラメータ ( $\ell = \text{同上}$ )

i : サイクル番号 (1 ~ 9)

j : 極値時点 (極値時点A ... 1, 極値時点B ... 2,  $\Delta T$ ,  $\Delta \epsilon$ ,  $\Delta \sigma$  ... 3)

k : 評価ライン番号 (1 ~ 9)

(3) F T 0 3 (F T 1 3) T,  $\epsilon$ ,  $\sigma$  の時刻歴

正負を考慮した値をヒステリシス

XVALU □ □ □ □ □

0 ——

i l j

i : サイクル (入力データの "CONTROL" データにおける kcycle の値)

l = 21 : 時間

= 11~13 : 表面における X, Y, Z 座標

j : 内面, 外面 内面: =1 外面: =2 時間: ≈0

XVALU □ □ □ □ □

—

i j k l

i : サイクル (入力データの "CONTROL" データにおける kcycle の値)

j = 1 : 評価断面 (入力データの "LINE" データで ioln=1とした評価断面を順に 1 ~ 9 )

l : 内面, 外面 内面: =1 外面: =2

k :

k	変数	k	変数	k	変数	k	変数
01	T	11	+ $\bar{\epsilon}$	30-34	$\epsilon_j$	65-69	$\sigma_j$
02	T <sub>n</sub>	21	+ $\bar{\sigma}$	35-39	$\epsilon_{jn}$	70-74	$\sigma_{jn}$
03	T <sub>m</sub>			40-44	$\epsilon_{jm}$	75-79	$\sigma_{jm}$
04	T <sub>b</sub>			45-49	$\epsilon_{jb}$	80-84	$\sigma_{jb}$
05	T <sub>r</sub>			50-54	$\epsilon_{jr}$	85-89	$\sigma_{jr}$
10	$\pm \bar{\sigma}$ , $\pm \bar{\epsilon}$ (*)			55-59	$\epsilon_{jr'}$		
				60-64	$\epsilon_{jc}$		

(\*)  $\epsilon$  は "XVALU" として出力される。

FT03(13) ファイル

温度: ℃, 応力: kg/mm<sup>2</sup>, ひずみ: %

i : サイクル番号 (1 ~ 9)

### j : 評価 ライン

$\ell$  : 内面 . . . 1, 外面 . . . 2, 時間 . . . 0

(4) FT04 (FT14)  $\Delta T$ ,  $\Delta \epsilon$ ,  $\Delta \sigma$ ,  $K\epsilon$ ,  $q_{ep}$ ,  $q_{ee}$  の履歴  
(レンジ, 係数の履歴)

(時点A⇒時点B)

XVALU     

0 

i            l            j

i : サイクル (入力データの "CONTROL" データにおける kcycle の値)

$\ell = 21$  : 時間

= 11~13 : 表面における X, Y, Z 座標

= 31 : 極値時点における時間 (ただし, YVALU として出力。)

j : 内面, 外面      内面: =1      外面: =2

YVALU     



i    j    k     $\ell$

i : サイクル (入力データの "CONTROL" データにおける kcycle の値)

j : 評価断面 (入力データの "LINE" データで ioln=1とした評価断面を順に 1 ~ 9 )

$\ell$  : 内面, 外面      内面: =1      外面: =2

k :

k	変数	k	変数	k	変数	k	変数
01	$\Delta T_1$	11	$\Delta \bar{\epsilon}$	21	$\Delta \bar{\sigma}^{(*)}$	30-34	$\Delta \epsilon_j$
02	$\Delta T_2$	12	$\Delta \bar{\epsilon}_n$	22	$\Delta \bar{\sigma}_n^{(*)}$	35-39	$\Delta \epsilon_{jn}$
		13	$\Delta \bar{\epsilon}_p$	23	S	40-44	$\Delta \epsilon_{jm}$
		14	$\Delta \bar{\epsilon}_{ni}$	24	S <sub>n</sub>	45-49	$\Delta \epsilon_{jb}$
		15	$\Delta \bar{\epsilon}_{pi}$	25	$\Delta \bar{\sigma}^*/2\sigma_y^{(*)}$	50-54	$\Delta \epsilon_{jp}$
		16	$\Delta \bar{\epsilon}^p$	26	$\Delta \bar{\epsilon}/2\epsilon_y^{(*)}$	55-59	$\Delta \epsilon^p_j$
		17	$\Delta \bar{\epsilon}^c$	27	$\bar{\sigma}$	60-64	$\Delta \epsilon^c_j$
		18	$\Delta \bar{\epsilon}_n/2\epsilon_y$	28	$\Delta \bar{\sigma}^c$		
		19	$\Delta \bar{\epsilon}_{ni}/2\epsilon_y$	29	$\Delta \bar{\epsilon}^c$		
		20	$\Delta \bar{\sigma}^n/2\sigma_y^{(*)}$				

(\*)  $\Delta \bar{\sigma}$ ,  $\Delta \bar{\sigma}^*/2\sigma_y$ ,  $\Delta \bar{\epsilon}/2\epsilon_y$  は "XVALU", "YVALU" の両方出力される。

k	変数	k	変数	k	変数	k	変数
70	$\Delta \bar{\epsilon} / \Delta \bar{\epsilon}^*$	75	$K \epsilon_{zm}$	80	$q_{ep}$	85	$q_{epsz}$
71	$\Delta \bar{\epsilon}_n / \Delta \bar{\epsilon}_n^*$	76	$K \epsilon_{zb}$	81	$q_{epn}$	86	$q_{epsb}$
72	$K \epsilon_p$	77	$K \epsilon_{\theta_m}$	82	$q_{epf}$	87	$q_{ep\theta_m}$
73	$\Delta \bar{\epsilon}_{ni} / \Delta \bar{\epsilon}_{ni}^*$	78	$K \epsilon_{\theta_b}$	83	$q_{epni}$	88	$q_{ep\theta_b}$
74	$K \epsilon_{pi}$	79	$K \epsilon_{eps}$	84	$q_{epfi}$		
						90	$q_{ec}$
						91	$\Delta \bar{\epsilon} / \Delta \bar{\epsilon}^*_{n1}$
						92	$\Delta \bar{\epsilon} / \Delta \bar{\epsilon}^*_{n1}$
						95	$\Delta \bar{\sigma}^*/\Delta \bar{\sigma}$

## FT04 (1-4) ファイル

温度:  $\text{t}$ , 応力:  $\text{kg/mm}^2$ , ひずみ: %

X, YVALU	ID	出力項目
YVALU	ij11 $\ell$	$\Delta \bar{\epsilon}$ : 相当ひずみレンジ ( $\Delta \epsilon$ による Mises 型) ( $\ell = 1, 2$ 内・外面)
	ij12 $\ell$	$\Delta \bar{\epsilon}_n$ : $\{1.5/(1-\nu)\} \times \Delta \epsilon_{eqn}$ ( $\ell = 1, 2$ 内・外面)
	ij13 $\ell$	$\Delta \bar{\epsilon}_p$ : $\Delta \bar{\epsilon} - \Delta \bar{\epsilon}_n$ ( $\ell = 1, 2$ 内・外面)
	ij14 $\ell$	$\Delta \epsilon_{eqn}$ : $\Delta \epsilon_n$ による相当ひずみレンジ (Mises) ( $\ell = 1, 2$ 内・外面)
	1j21 $\ell$	$\Delta \bar{\sigma}$ : 相当応力レンジ (Mises型, Sp) ( $\ell = 1, 2$ 内・外面)
	1j22 $\ell$	$\Delta \bar{\sigma}_n$ : $\Delta \sigma_n$ による相当応力レンジ (Mises, Sn) ( $\ell = 1, 2$ 内・外面)
	1j23 $\ell$	S : 応力強さレンジ (Tresca 型) ( $\ell = 1, 2$ 内・外面)
	1j24 $\ell$	S <sub>n</sub> : $\Delta \sigma_n$ による応力強さレンジ (Tresca型) ( $\ell = 1, 2$ 内・外面)
	1j27 $\ell$	$\bar{\sigma}$ : 相当応力 (Mises型) ( $\ell = 1, 2$ 内・外面)
	ij3k $\ell$	$\Delta \epsilon$ : 全ひずみレンジ ( $k = 0, 1, 2, 3 = r, z, \theta, rz, \ell = \text{同上}$ )
	ij3k $\ell$	$\Delta \epsilon_n$ : (膜+曲げ) ひずみレンジ ( $k = 0, 1, 2, 3 = r, z, \theta, rz, \ell = \text{同上}$ )
	ij4k $\ell$	$\Delta \epsilon_m$ : 膜ひずみレンジ ( $k = 0, 1, 2, 3 = r, z, \theta, rz, \ell = \text{同上}$ )
	ij4k $\ell$	$\Delta \epsilon_\theta$ : 曲げひずみレンジ ( $k = 0, 1, 2, 3 = r, z, \theta, rz, \ell = \text{同上}$ )
	ij5k $\ell$	$\Delta \epsilon_p$ : ピークひずみレンジ ( $k = 0, 1, 2, 3 = r, z, \theta, rz, \ell = \text{同上}$ )
	ij70 $\ell$	K $\epsilon$ : $\Delta \bar{\epsilon}$ によるひずみ集中係数 (非弾性/弾性) ( $\ell = \text{同上}$ )
	ij71 $\ell$	K $\epsilon_n$ : $\Delta \bar{\epsilon}_n$ によるひずみ集中係数 (非弾性/弾性) ( $\ell = \text{同上}$ )
	ij72 $\ell$	K $\epsilon_p$ : $\Delta \bar{\epsilon}_p$ によるひずみ集中係数 (非弾性/弾性) ( $\ell = \text{同上}$ )
	ij80 $\ell$	q <sub>ep</sub> : $\Delta \bar{\epsilon}$ による弾性追従パラメータ ( $\ell = \text{同上}$ )
	ij81 $\ell$	q <sub>epn</sub> : $\Delta \bar{\epsilon}_n$ による弾性追従パラメータ ( $\ell = \text{同上}$ )
	ij82 $\ell$	q <sub>epp</sub> : $\Delta \bar{\epsilon}_p$ による弾性追従パラメータ ( $\ell = \text{同上}$ )
	ij90 $\ell$	q <sub>ec</sub> : クリープ弾性追従パラメータ ( $\ell = \text{同上}$ )

i : サイクル番号 (1 ~ 9)

j : 極値時点 (極値時点 A ··· 1, 極値時点 B ··· 2,  $\Delta T$ ,  $\Delta \epsilon$ ,  $\Delta \sigma$  ··· 3)

k : 成分番号

 $\ell$  : 内面 ··· 1, 外面 ··· 2

## (5) FT09 (FT19) 標準フォーマット・データ

T,  $\epsilon$ ,  $\sigma$  の分布 (表面に沿った距離)

XVALU □ □ □ □ □

0 —

i l j

i : サイクル (入力データの "CONTROL" データにおける kcycle の値)

 $l = 11 \sim 13$  : 表面における X, Y, Z 座標 $= 31$  : 極値時点における時間 (ただし, "YVALU" として出力される)

j : 内面, 外面 内面: =1 外面: =2

YVALU □ □ □ □ □

—

i j k l

i : サイクル (入力データの "CONTROL" データにおける kcycle の値)

j = 1 : T,  $\epsilon$ ,  $\sigma$  (時点 A) $= 2$  : T,  $\epsilon$ ,  $\sigma$  (時点 B) $= 3$  :  $T_{max}$  の場合のみ $l$  : 内面, 外面 内面: =1 外面: =2

k :

k	変数	k	変数	k	変数	k	変数
01	T	30-34	$\epsilon_j$	65-69	$\sigma_j$		
02	$T_n$	35-39		70-74	$\sigma_{jn}$		
03	$T_m$	40-44		75-79	$\sigma_{jm}$		
04		45-49		80-84			
05		50-54		85-89			
06	$T_{max}$	55-59	$\epsilon_{jp}$				
		60-64	$\epsilon_{jc}$				

FT09(19) ファイル

温度: ℃, 応力: kg/mm<sup>2</sup>, ひずみ: %

i : サイクル番号 (1 ~ 9)

j : 極値時点 (極値時点 A . . . 1, 極値時点 B . . . 2,  $\Delta T$ ,  $\Delta \epsilon$ ,  $\Delta \sigma$  . . . 3)

k : 成分番号

$\ell$  : 内面 . . . 1, 外面 . . . 2

## 5. 処理方法（操作手順）

弾性及び非弾性（熱）応力解析で作成されたポストファイルを使用して、各種パラメータを求める操作手順等を以下に示す。

### 5.1 処理フロー

弾性および非弾性解析の後処理フローを図5.1に示す。

### 5.2 FINASの実行

FINASにより弾性、非弾性応力解析を行い、ポスト・ファイルを作成する。

- ・適用要素は、QAX4, QAX8, TAX3, TAX6, QPLAN8, QPLAN9, QMEM8, CONIC2である。
- ・ポストファイルの作成(ELM ALL ALLもしくは, NPSTとする。)
- ・ $K\epsilon$ ,  $q_{ep}$ , パラメータまで求める場合には、弾性、非弾性とも同一步骤とする必要がある。ただし、弾性解析は1サイクルでよい。
- ・多荷重処理及び調和荷重解析についても後処理が可能である。

### 5.3 使用するファイル

- ・FT01 : XYデータ( $T$ ,  $\epsilon$ ,  $\sigma$ の板厚内分布) (非弾性) カード・イメージ
- ・FT02 : XYデータ( $\Delta T$ ,  $\Delta \epsilon$ ,  $\Delta \sigma$ の分布) (非弾性) カード・イメージ
- ・FT03 : XYデータ( $T$ ,  $\epsilon$ ,  $\sigma$ の時刻歴) (非弾性) カード・イメージ
- ・FT04 : XYデータ( $\Delta T$ ,  $\Delta \epsilon$ ,  $\Delta \sigma$ の履歴) (非弾性) カード・イメージ
- ・FT05 : 入力データ カード・イメージ
- ・FT06 : プリント出力 カード・イメージ
- ・FT08 : 入力データの保存 カード・イメージ
- ・FT09 : 標準フォーマット・データ (非弾性) カード・イメージ
- ・FT11 : XYデータ( $T$ ,  $\epsilon$ ,  $\sigma$ の板厚内分布) (弾性) カード・イメージ
- ・FT12 : XYデータ( $\Delta T$ ,  $\Delta \epsilon$ ,  $\Delta \sigma$ の分布) (弾性) カード・イメージ

- ・ FT 1 3 : X Y データ (T,  $\epsilon$ ,  $\sigma$  の時刻歴) (弾性) カード・イメージ
- ・ FT 1 4 : X Y データ ( $\Delta T$ ,  $\Delta \epsilon$ ,  $\Delta \sigma$  の履歴) (弾性) カード・イメージ
- ・ FT 1 9 : 標準フォーマット・データ (弾性) カード・イメージ
- ・ FT 21~30 : FINAS ポスト・ファイル (非弾性)
- ・ FT 31~40 : FINAS ポスト・ファイル (弾性)
- ・ FT 41 : ワークファイル (評価断面の座標等) (非弾性)
- ・ FT 42 : ワークファイル (評価断面の応力／ひずみ) (非弾性)
- ・ FT 43 : ワークファイル (平均化, 線形化の応力／ひずみ) (非弾性)
- ・ FT 44 : ワークファイル (レンジの分布) (非弾性)
- ・ FT 45 : ワークファイル (レンジの履歴) (非弾性)
- ・ FT 51 : ワークファイル (評価断面の座標等) (弾性)
- ・ FT 52 : ワークファイル (評価断面の応力／ひずみ) (弾性)
- ・ FT 53 : ワークファイル (平均化, 線形化の応力／ひずみ) (弾性)
- ・ FT 54 : ワークファイル (レンジの分布) (弾性)
- ・ FT 55 : ワークファイル (レンジの履歴) (弾性)
- ・ FINAS ポストファイルが複数ファイルにまたがる場合には, FT21~30, もしくは, FT 31~40 に順に指定する。
- ・ 極値時点は, 表面 (評価断面の始点側) におけるひずみ範囲により決定され, 表面 2 (評価断面の終点側) における極値時点は, 表面 1 における極値時点に統一される。
- ・ 弾性解析の極値時点は, パラメータまで求める場合には非弾性解析における極値時点に統一される。

#### 5.4 入力データ

入力データの構成を以下に示す。

TITLE : タイトル

OPER : 処理内容の選択

CONTROL : RANGE 处理のオプション

PRINT : プリント出力の内容の選択

OUTPUT : ファイル出力 (XYデータ) の内容の選択

LINE : 評価断面の定義

- MAX (100), 履歴を出力の場合 (10)

E RANGE : すべての評価断面を含む要素の範囲

I STEP : 非弾性解析におけるステップ

E STEP : 弾性解析におけるステップ

PART : ステップに対するラベル

MAT : 物性値 (T, E, ν, σ<sub>y</sub>) のデータ

END : 入力データの終わり

• 1カラムめが" \$" の行はコメントとなる。

• " END" データは入力データの最後に位置する。これ以降のデータは無視される。

• 各データ (TITLE から END カード) 間で入力順序は自由である。

以下に詳細な入力方法を示す。

• TITLE データ

10            20            30            40    . . .    70            80

TITL			ititl		
------	--	--	-------	--	--

概要 タイトルを入力する。プリント出力において各ページに出力される。また、標準フォーマット出力(FT09, 19)において、"PTITLE"として出力される。

## A カード

カラム	タイプ	変 数	内 容
1 ~ 4	英字		T I T L と記入
11~70	英数字	ititl	タイトルを記入（60 文字以内）

## ・ O P E R データ

10 20 30 40 . . . 70 80

OPER		koper	kpsti	kpste							
------	--	-------	-------	-------	--	--	--	--	--	--	--

**概要** 処理に内容を選択する。R A N G E 処理、または標準フォーマット出力の処理のいずれかを選択する。また、P O S T ファイル上の” E L M ” データまたは” N P S S T ” データのいずれかを弾性解析、非弾性解析ごとに指定する。

## A カード

カラム	タイプ	変 数	内 容
1~4	英字		OPERと記入
11~15	整数	koper	= 0 RANGE処理及び標準フォーマット出力処理 = 1 標準フォーマット出力処理のみ
16~20	整数	kpsti	= 0 非弾性解析において" ELM" データを使用 = 1 非弾性解析において" NPST" データを使用
21~25	整数	kpste	= 0 弹性解析において" ELM" データを使用 = 1 弹性解析において" NPST" データを使用

## ・ C O N T R O L データ

## 概要 RANGE処理におけるオプションの指定

10            20            30            40            50    . . .    80

CONT		kparm	kdeps	krang	kwgt	kediv	kntrn	kcycl	ksym		
------	--	-------	-------	-------	------	-------	-------	-------	------	--	--

## 八カード

カラム	タイプ	変数	内 容
1~4	英字		CONTと記入
11~15	整数	kparm	RANGE処理の内容の指定 = 0 レンジおよび極値2時点の算出 = 1 さらに、 $\Delta\sigma$ , $\Delta\varepsilon$ の履歴の算出 = 2 さらに、Ke, qパラメータを算出
16~20	整数	kdeps	極値2時点を決定するひずみ(応力)成分 = 0 $\Delta\varepsilon_{xx}$ (全ひずみレンジのMises型) = 1 $\Delta\varepsilon$ ( $\Delta\varepsilon_x + \Delta\varepsilon_y + \Delta\varepsilon_z$ ) = 2 $\Delta\varepsilon_n$ (線形化したひずみレンジ) = 11~14 応力成分 ( $\sigma_r, \sigma_s, \sigma_\theta, \tau_{rs}$ )
21~25	整数	krang	極値2時点の指定 = 0 プログラム内部で決定 = 1 入力データにより指定 ("ISTEP", "BSTBP"データ) = -1 "0"からのレンジをとる
26~30	整数	kwgt	平均化、線形化におけるrの重み $i \ j \ k \ l \ m$ i:r成分 j:z成分 k:θ成分 l:せん断成分 m:温度 = 0 rの重みをつける = 1 rの重みをつけない
31~35	正整数	kediv	評価断面と要素の辺との各交点間の分割数(デフォルト:2)
36~40	整数	kntrn	応力、ひずみの座標変換 = 0 評価断面の座標系に座標変換する = 1 座標変換しない(基準座標系のまま) = -1 表面に垂直な方向をxとした座標系
41~45	整数	kcycl	サイクルの指定(PINASによるプロット用"XVALU", "YVALU"データを出力するときに使用する。識別番号はkcycl*10000 番台 デフォルトは、非弾性:kcycl=1, 弾性:kcycl=2)
46~50	整数	ksym	対称、反対称モデルの指定 = 0 全体モデル = 1 対称モデル = 2 反対称モデル

## • PRINT データ

10 20 30 40 . . . 70 80

PRIN		kpr01	kpr02	kpr03	kpr04	kpr09					
------	--	-------	-------	-------	-------	-------	--	--	--	--	--

**概要** プリント出力する内容の選択。プリント出力しない場合には入力しなくてもよい。

= 0 : 出力しない = 1 : 出力する (弾性, 非弾性ファイルとも出力)

= -1 : 膜, 膜+曲げ, ピーク成分は出力しない

## Aカード

カラム	タイプ	変 数	内 容
1~4	英字		PRINと記入
11~15	整数	kpr01	$\sigma$ , $\epsilon$ の板厚方向分布 (FT01の内容)
16~20	整数	kpr02	レンジ ( $\Delta \sigma$ , $\Delta \epsilon$ ) の分布および $K\epsilon$ , $q$ の分布 (FT02の内容)
21~25	整数	kpr03	$\sigma - \epsilon$ の履歴および $\sigma$ , $\epsilon$ の履歴 (FT03の内容)
26~30	整数	kpr04	レンジ ( $\Delta \sigma$ , $\Delta \epsilon$ ) の履歴および $K\epsilon$ , $q$ の履歴 (FT04の内容)
31~35	整数	kpr09	レンジ ( $\Delta \sigma$ , $\Delta \epsilon$ ) の分布 (FT09の内容)

## • OUTPUT データ

10            20            30            40    . . .    70            80

OUTP		kft01	kft02	kft03	kft04	kft09					
------	--	-------	-------	-------	-------	-------	--	--	--	--	--

**概要** RANGE の結果をファイルに出力する場合の内容の選択。FINASによるプロット用 "XVALU", "YVALU" データ、もしくは標準フォーマットデータが出力される。すべてのファイル出力が必要な場合には、このデータは入力しなくてよい。

= 0 : 出力しない                          = 1 : 出力する (弾性、非弾性ファイルとも出力)

= -1 : 膜、膜+曲げ、ピーク成分は出力しない

## A カード

カラム	タイプ	変数	内 容
1~4	英字		OUTP と記入
11~15	整数	kft01	F T 0 1 : $\sigma$ , $\epsilon$ の板厚方向分布
16~20	整数	kft02	F T 0 2 : レンジ ( $\Delta \sigma$ , $\Delta \epsilon$ ) の分布 および $K \epsilon$ , $q$ の分布
21~25	整数	kft03	F T 0 3 : $\sigma - \epsilon$ の履歴および $\sigma$ , $\epsilon$ の履歴
26~30	整数	kft04	F T 0 4 : レンジ ( $\Delta \sigma$ , $\Delta \epsilon$ ) の履歴 および $K \epsilon$ , $q$ の履歴
31~35	整数	kft09	F T 0 9 : レンジ ( $\Delta \sigma$ , $\Delta \epsilon$ ) の分布

## • LINE データ

10 20 30 40 50 60 . . . 80

A1	LINB	NODE	idln	ioln	nods		node		angle	irln	ifln	
A2	LINB	BLEM	idln	ioln	iels	ifacs	iele	iface	angle	irln	ifln	
A3	LINB	IP	idln	ioln	ielm	ips	ipe	Δ ip	thick	irln	ifln	

概要 評価断面を定義する評価断面毎にA1, A2またはA3カードのいずれかを繰り返す。

## A1カード

カラム	タイプ	変数	内 容
1~4	英字		LINEと記入
6~9	英字		NODEと記入
11~15	英数字	idln	評価断面の記号（5文字以内）
16~20	整数	ioln	履歴の出力 = 0 : 出力しない = 1 : 出力する
21~25	正整数	nods	評価断面始点の節点番号
31~35	正整数	node	評価断面終点の節点番号（無記入の場合、 辺に垂直な方向）
41~50	実数	angle	評価断面が基準座標系のX軸からなす角度（度）

## A2カード

カラム	タイプ	変数	内 容
1~4	英字		LINEと記入
6~9	英字		ELEMと記入
11~15	英数字	idln	評価断面の記号（5文字以内）
16~20	整数	ioln	履歴の出力 = 0 : 出力しない = 1 : 出力する
21~25	正整数	ie1s	評価断面始点の要素番号
26~30	正整数	ifacs	上記の辺番号（無記入の場合、表面の辺を自動設定）
31~35	正整数	iele	評価断面終点の要素番号（無記入の場合、 辺に垂直な方向）
36~40	正整数	iface	上記の辺番号（無記入の場合、表面の辺を自動設定）
41~50	実数	angle	評価断面が基準座標系のX軸からなす角度（度）

## A 3 カード

カラム	タイプ	変 数	内 容
1~4	英字		LINEと記入
6~7	英字		IPと記入
11~15	英数字	idln	評価断面の記号 (5文字以内)
16~20	整数	ioln	履歴の出力 = 0 : 出力しない = 1 : 出力する
21~25	正整数	ielm	評価断面の要素番号
26~30	正整数	ips	評価断面始点の積分点番号
31~35	正整数	ipe	評価断面終点の積分点番号
36~40	正整数	Δip	積分点番号の増分
41~50	実数	thick	評価断面の板厚

A 3 カードは、軸対称シェル要素に対してのみ使用できる

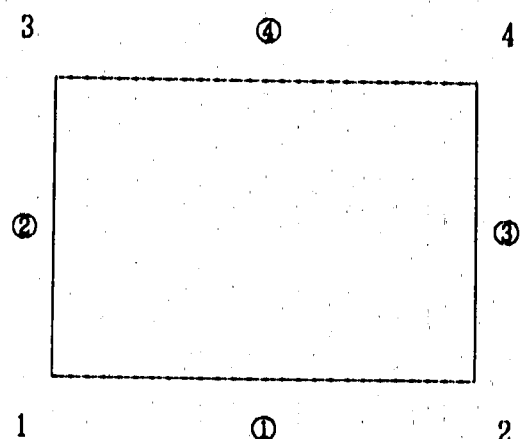
A 1 ~ A 3 カードに共通

カラム	タイプ	変 数	内 容
51~55	整数	irln	極値 2 時点を決定するとき基準となる評価断面の番号 評価断面の番号は、入力順の番号 1, 2, 3 . . . で指定する。 極値 2 時点を他の評価断面と同一にする場合に指定する。
56~60	整数	isln	出力時にSn値を他の評価断面とする場合に、その評価断面の番号を指定する。 (Sn-Kε の履歴の出力)

### 評価断面の設定

ここでは評価断面の設定方法について説明する。

以下に例として4節点四辺形要素における要素構成節点と辺番号の対応について示す。

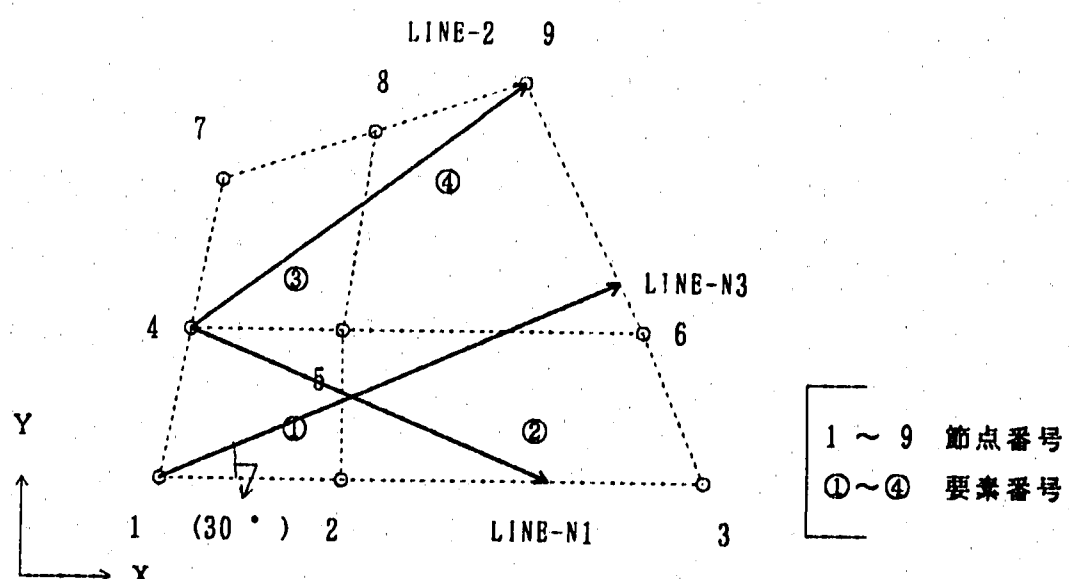


4節点四辺形要素

#### 1) 節点による設定

節点による設定方法は下記に示すように3通りの方法がある。

1. 始点のみを入力 (LINE-N1) 始点の辺に垂直な方向に設定
2. 始点と終点を入力 (LINE-N2) 2点を結ぶライン上を設定
3. 始点と角度を入力 (LINE-N3) 始点から入力された角度の方向に設定



(入力データ)

10 20 30 40 50 ... 80

LINE	NODE	N1	0	4					
LINE	NODE	N2	0	4		9			
LINE	NODE	N3*	0	1				30.0	

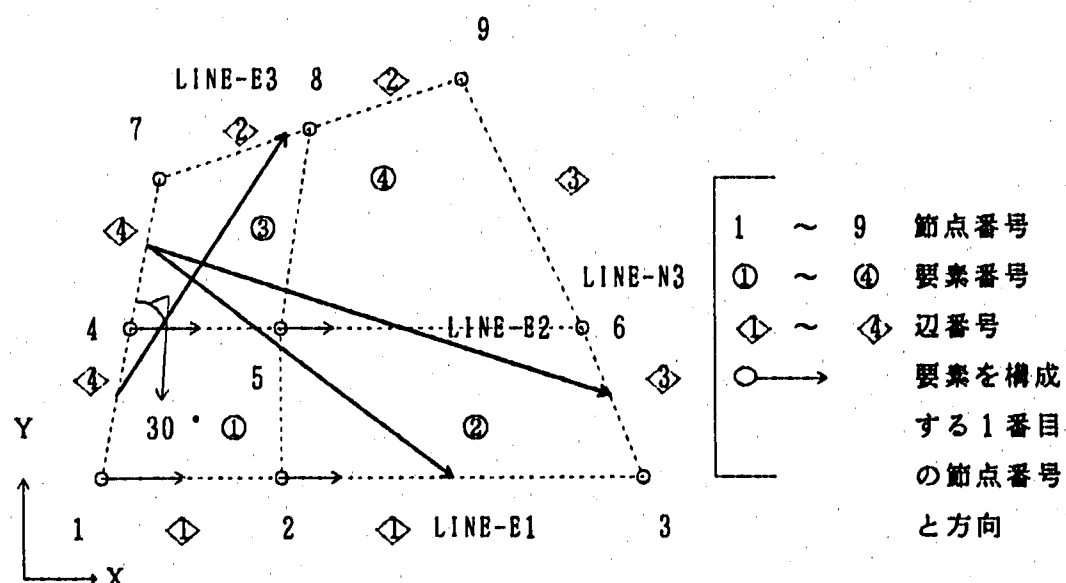
\* モデル全体の角の節点を始点として入力する場合は、終点または角度を必ず入力する。

## 2) 要素による設定

要素による設定方法も節点による設定と同じく次ぎの3通りの方法がある。

(始点・終点は辺の中点が設定される)

1. 始点のみを入力 (LINE-E1) 始点の辺に垂直な方向に設定
2. 始点と終点を入力 (LINE-E2) 2点を結ぶラインを設定
3. 始点と角度を入力 (LINE-E3) 始点から入力された角度の方向に設定



## (入力データ)

10 20 30 40 50 . . . 80

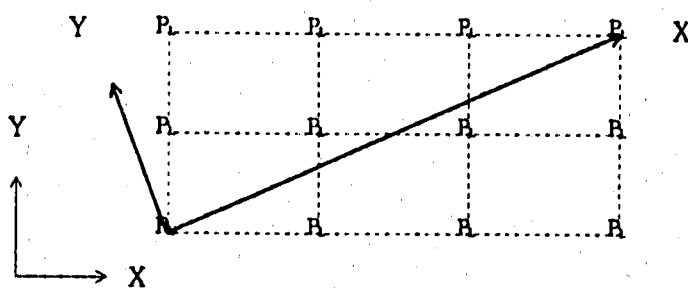
LINE	BLBM	E1	0	3	4°						
LINE	BLBM	E2	0	3	4°	2	3°				
LINE	BLBM	E3	0	1	4°			30.0			

\* 辺番号については、無記入の場合表面の辺が自動設定される。(ただし、表面の辺が2つ以上の場合は必ず入力する必要がある。)

\* 平面要素を用いたモデルにおいてモデルが基準座標系のX-Y平面に存在しない場合には、評価断面の方向を角度で指定する事はできない。

## 評価断面の座標系

評価断面の座標系は、始点から終点に向かう方向にX軸、基準座標系のZ軸とこのX軸と外積方向にY軸、X軸とY軸の外積方向にZ軸がとられる。ただし、評価断面のX軸と基準座標系のZ軸が一致する場合には、基準座標系のY軸とX軸の外積方向にY軸がとられる。



2次元の場合

## • ERANGE データ

10

20

30

40

50

60

70

BRAN	iels1	iels1	Deli	iels2	iele2	De12	iels3	iele3	De13	iels4	iele4	De14
	iels5	iels5	De15	iels6	iele6	De16	iels7	iele7	De17	iels8	iele8	De18

\* D=△

**概要** すべての評価断面上の要素を含む要素範囲の指定。無指定の場合は全要素。ここで選択された要素の中から、評価断面上の要素が設定される。このデータは必ずしも入力しなくてもよい。最初の要素番号、最後の要素番号及び要素番号の増分を1組とし、1行に4組づつ必要な組数だけ入力する。

## Aカード

カラム	タイプ	変 数	内 容
1~4	英字		ERANと記入
11~15	正整数	iels1	最初の要素番号
16~20	正整数	ielei	最後の要素番号
21~25	整数	Δeli	要素番号の増分

## • I S T E P データ

10            20            30            40    . . .    70            80

ISTE		ists	iste	irsts	irstste	istcs	istce					
------	--	------	------	-------	---------	-------	-------	--	--	--	--	--

概要 非弾性解析においてレンジを算出する時点の範囲をステップ番号で指定する。

## A カード

カラム	タイプ	変数	内 容
1~4	英字		I S T E と記入
11~15	正整数	ists	最初のステップ番号を指定する。
16~20	正整数	iste	最後のステップ番号を指定する。
21~25	正整数	irsts	極値時点 A を指定する。 "CONTROL"データのkrang,=1の場合有効
26~30	正整数	irste	極値時点 B を指定する。 "CONTROL"データのkrang,=1の場合有効
31~35	正整数	istcs	クリープ開始時点の指定。クリープ解析の場合
36~40	正整数	istce	クリープ終了時点の指定。

## • E S T E P チータ

10            20            30            40            50            60            70            80

1STB      ists    iste    irstsirste

**概要** 弾性解析においてレンジを算出する時点の範囲をステップ番号で指定する。

A カード

カラム	タイプ	変数	内 容
1~4	英字		E S T E と記入
11~15	正整数	ists	最初のステップ番号を指定する。
16~20	正整数	iste	最後のステップ番号を指定する。
21~25	正整数	irsts	極値時点 A を指定する。 "CONTROL"データのkrang =1の場合有効
26~30	正整数	irste	極値時点 B を指定する。 "CONTROL"データのkrang =1の場合有効

## • PART データ

10 20 30 40 50 ... 80

A	PART	npart	kstat								
B		istst	listel	tbegin1	tscall1	load1					

		istst	listen	tbeginn	tscalm	loadn				
--	--	-------	--------	---------	--------	-------	--	--	--	--

概要 各ステップの範囲における見出し（例えば熱過渡のHOT, COLD等）を指定する。またFINASのReal Timeに対するスケールを指定することも可能である。このデータは必ずしも入力しなくてもよい。

## Aカード

カラム	タイプ	変 数	内 容
1~4	英字		PARTと記入
11~15	正整数	npart	指定する区分の数。例えばHOT,COLDごとに1区分とする。 最大10区分
16~20	正整数	kstat	ここで指定する区分がHOT, COLDであるかの識別 = 1 HOTから始まる（デフォルト） = 2 COLDから始まる

## B カード

カラム	タイプ	変数	内 容
11~15	正整数	istsi	i 番目の区分の最初のステップ番号の順番
16~20	正整数	istei	i 番目の区分の最後のステップ番号の順番
21~30	実数	tbegini	i 番目の区分の開始時刻 (FINAS の Real Time )
31~40	実数	tscalii	i 番目の区分の実時間の (FINAS の Real Time ) に対するスケールファクタ (デフォルト:1.0)
41~45	英字	loadi	荷重に対する記号 (4 文字以内) 無指定の場合は 'HOT' または 'COLD' となる

## • M A T データ

10            20            30            40            50    . . .    80

A	MAT	ntabl					
B1		T <sub>1</sub>	E <sub>1</sub>	v <sub>1</sub>	$\sigma_{y1}$		

Bn		T <sub>n</sub>	E <sub>n</sub>	v <sub>n</sub>	$\sigma_{yn}$		
----	--	----------------	----------------	----------------	---------------	--	--

**概要** 溫度と物性値のテーブルを入力する。物性値が溫度依存ではない場合には、ntabl=1とし、1組だけ入力する。この場合、溫度は入力されても無関係である。弾性解析の場合にも $\nu$ の値を入力する。このデータが入力されない場合には、SUS304の値が用いられる。

**Aカード**

カラム	タイプ	変数	内 容
1~4	英字		MATと記入
11~15	正整数	ntabl	温度と物性値のテーブル数

**Bカード**

ntabl 枚必要

カラム	タイプ	変数	内 容
11~20	実数	$T_i$	温度
21~30	実数	$E_i$	温度 $T_i$ におけるヤング率
31~40	実数	$\nu_i$	温度 $T_i$ におけるボアソン比
41~50	実数	$\sigma_{y_i}$	温度 $T_i$ における降伏応力

• END データ

10

20

30

40

...

70

80

END											
-----	--	--	--	--	--	--	--	--	--	--	--

概要 入力データの終わりを示す。このデータ以降に入力されたデータは無視される。

Aカード

カラム	タイプ	変数	内 容
1~3	英字		ENDと記入

## 5.5 J C L の例

図5.2にJCLの例を示す。

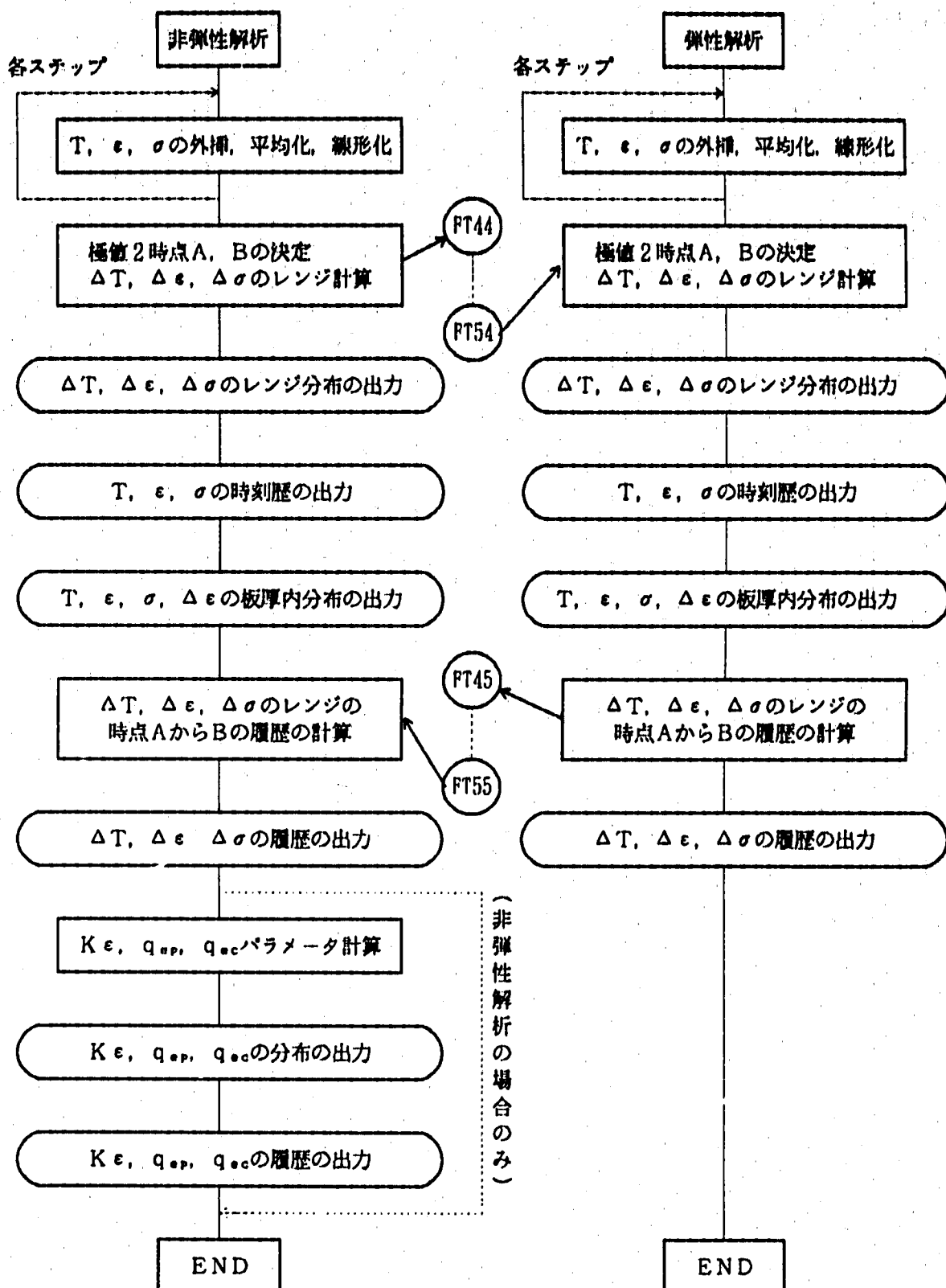


図 5.1 弾性及び非弾性解析の R A N G E 処理フロー

```

1   2   3   4   5   6   7   8
....1....0....1....0....1....0....1....0....1....0....1....0....1....0....1....0
000001 //XXXXXXXX JOB ,RANGE4,
000002 //      MSGCLASS=X,MSGLEVEL=(2,0),NOTIFY=XXXXXXX,CLASS=B,TIME=0002
000003 //***** R A N G E   V E R 4 . 0 *****
000004 //***** R A N G E   V E R 4 . 0 *****
000005 //***** R A N G E   V E R 4 . 0 *****
000006 //RANGE4 EXEC PGH=RANGE4A
000007 //STEPLIB DD DSN=PDD2F12.RANGE4,LOAD,DISP=SHR
000008 //FT06F001 DD DSN=&&COMPACT,UNIT=WORK,DISP=(NEW,PASS),
000009 //      SPACE=(TRK,(100,50))
000010 //***** IN-ELASTIC FILE ***** .
000011 //FT01F001 DD DSN=XXXXXX.AAAAAA.FT01,DISP=(NEW,CATLG),UNIT=DASD,
000012 //      SPACE=(TRK,(5,2),RLSE),DCB=(RECFM=FB,LRECL=80,BLKSIZE=3120)
000013 //FT02F001 DU DSN=XXXXXX.AAAAAA.FT02,DISP=(NEW,CATLG),UNIT=DASD,
000014 //      SPACE=(TRK,(5,2),RLSE),DCB=(RECFM=FB,LRECL=80,BLKSIZE=3120)
000015 //FT03F001 DD DSN=XXXXXX.AAAAAA.FT03,DISP=(NEW,CATLG),UNIT=DASD,
000016 //      SPACE=(TRK,(5,2),RLSE),DCB=(RECFM=FB,LRECL=80,BLKSIZE=3120)
000017 //FT04F001 DD DSN=XXXXXX.AAAAAA.FT04,DISP=(NEW,CATLG),UNIT=DASD,
000018 //      SPACE=(TRK,(5,2),RLSE),DCB=(RECFM=FB,LRECL=80,BLKSIZE=3120)
000019 //FT09F001 DD DSN=XXXXXX.AAAAAA.FT09,DISP=(NEW,CATLG),UNIT=DASD,
000020 //      SPACE=(TRK,(5,2),RLSE),DCB=(RECFM=FB,LRECL=80,BLKSIZE=3120)
000021 //***** ELASTIC FILE *****
000022 //FT11F001 DD DSN=XXXXXX.BBBBBB.FT11,DISP=(NEW,CATLG),UNIT=DASD,
000023 //      SPACE=(TRK,(5,2),RLSE),DCB=(RECFM=FB,LRECL=80,BLKSIZE=3120)
000024 //FT12F001 DD DSN=XXXXXX.BBBBBB.FT12,DISP=(NEW,CATLG),UNIT=DASD,
000025 //      SPACE=(TRK,(5,2),RLSE),DCB=(RECFM=FB,LRECL=80,BLKSIZE=3120)
000026 //FT13F001 DD DSN=XXXXXX.BBBBBB.FT13,DISP=(NEW,CATLG),UNIT=DASD,
000027 //      SPACE=(TRK,(5,2),RLSE),DCB=(RECFM=FB,LRECL=80,BLKSIZE=3120)
000028 //FT14F001 DD DSN=XXXXXX.BBBBBB.FT14,DISP=(NEW,CATLG),UNIT=DASD,
000029 //      SPACE=(TRK,(5,2),RLSE),DCB=(RECFM=FB,LRECL=80,BLKSIZE=3120)
000030 //FT19F001 DD DSN=XXXXXX.BBBBBB.FT19,DISP=(NEW,CATLG),UNIT=DASD,
000031 //      SPACE=(TRK,(5,2),RLSE),DCB=(RECFM=FB,LRECL=80,BLKSIZE=3120)
000032 //FT08F001 DD DSN=&&INPUT,UNIT=WORK,DISP=(NEW,DELETE),
000033 //      SPACE=(TRK,(5,1),RLSE)
000034 //***** IN-ELASTIC POST TAPE *****
000035 //FT21F001 DD DSN=XXXXXX.CCCCCC.POST,DISP=SHR,UNIT=DASD
000036 //***** ELASTIC POST TAPE *****
000037 //FT31F001 DD DSN=XXXXXX.DDDDDD.POST,DISP=SHR,UNIT=DASD
000038 //***** *****
000039 //FT41F001 DD DSN=&&FT41,UNIT=WORK,DISP=(NEW,DELETE),
000040 //      SPACE=(TRK,(5,5),RLSE),DCB=BLKSIZE=4000
000041 //FT42F001 DD DSN=&&FT42,UNIT=WORK,DISP=(NEW,DELETE),
000042 //      SPACE=(TRK,(30,15),RLSE),DCB=BLKSIZE=4000
000043 //FT43F001 DD DSN=&&FT43,UNIT=WORK,DISP=(NEW,DELETE),
000044 //      SPACE=(TRK,(5,5),RLSE),DCB=BLKSIZE=4000
000045 //FT44F001 DD DSN=&&FT44,UNIT=WORK,DISP=(MOD,PASS),
000046 //      SPACE=(TRK,(30,15),RLSE),DCB=BLKSIZE=4000
000047 //FT45F001 DD DSN=&&FT45,UNIT=WORK,DISP=(NEW,DELETE),
000048 //      SPACE=(TRK,(30,15),RLSE),DCB=BLKSIZE=4000
000049 //FT51F001 DD DSN=&&FT51,UNIT=WORK,DISP=(NEW,DELETE),
000050 //      SPACE=(TRK,(5,5),RLSE),DCB=BLKSIZE=4000
000051 //FT52F001 DD DSN=&&FT52,UNIT=WORK,DISP=(NEW,DELETE),
000052 //      SPACE=(TRK,(30,15),RLSE),DCB=BLKSIZE=4000
000053 //FT53F001 DD DSN=&&FT53,UNIT=WORK,DISP=(NEW,DELETE),
000054 //      SPACE=(TRK,(5,5),RLSE),DCB=BLKSIZE=4000
000055 //FT54F001 DD DSN=&&FT54,UNIT=WORK,DISP=(NEW,DELETE),
000056 //      SPACE=(TRK,(30,15),RLSE),DCB=BLKSIZE=4000
000057 //FT55F001 DD DSN=&&FT55,UNIT=WORK,DISP=(MOD,PASS),
000058 //      SPACE=(TRK,(30,15),RLSE),DCB=BLKSIZE=4000
000059 //***** RANGE INPUT DATA *****
000060 //FT05F001 DD DSN=XXXXXX.EEEEEEE.FFFF(YYYY),DISP=SHR
000061 //***** *****
000062 //***** OUTPUT *****
000063 //***** *****
000064 //*
000065 //COMPAC1 EXEC COMPACT,TYPE=TYPE2,COND=EVEN,CC=NO
000066 //UTYIN DD DSN=&&COMPACT,DISP=(OLD,DELETE)          00000400
000067 //*
....1....0....1....0....1....0....1....0....1....0....1....0....1....0....1....0
1   2   3   4   5   6   7   8

```

図5.2 J C L の例

## 参考文献

(1) FINAS user's manual version 11.0

動燃事業団 PNC N9520 89-019

## 謝　　辞

本プログラムの開発には株式会社C R C 総合研究所の畠田 博治氏に多大なご協力いた  
だきました。ここに厚く謝意を表します。

## 付 錄

### 付録A 出力結果ファイル

出力結果ファイルは、板厚内分布（FT01, 11），長軸方向の分布（FT02, 12），時刻歴（FT02, 13），履歴（FT04, 14），標準フォーマット・データ（FT09, 19）の弾性，非弾性含わせて10ファイルの出力が可能である。

出力結果ファイルの一例としてフィレット付円筒モデルを使用して作成した。図A-1に示したメッシュ図は，評価ラインが分かりやすいように拡大したものである。また，解析タイプは弾クリープ解析である。

表A-1～A-4 に出力結果ファイル（FT14）の一例を示す。

表A-5～A-6 に標準フォーマット・データ（FT19）の一例を示す。

### 付録B プリント出力

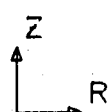
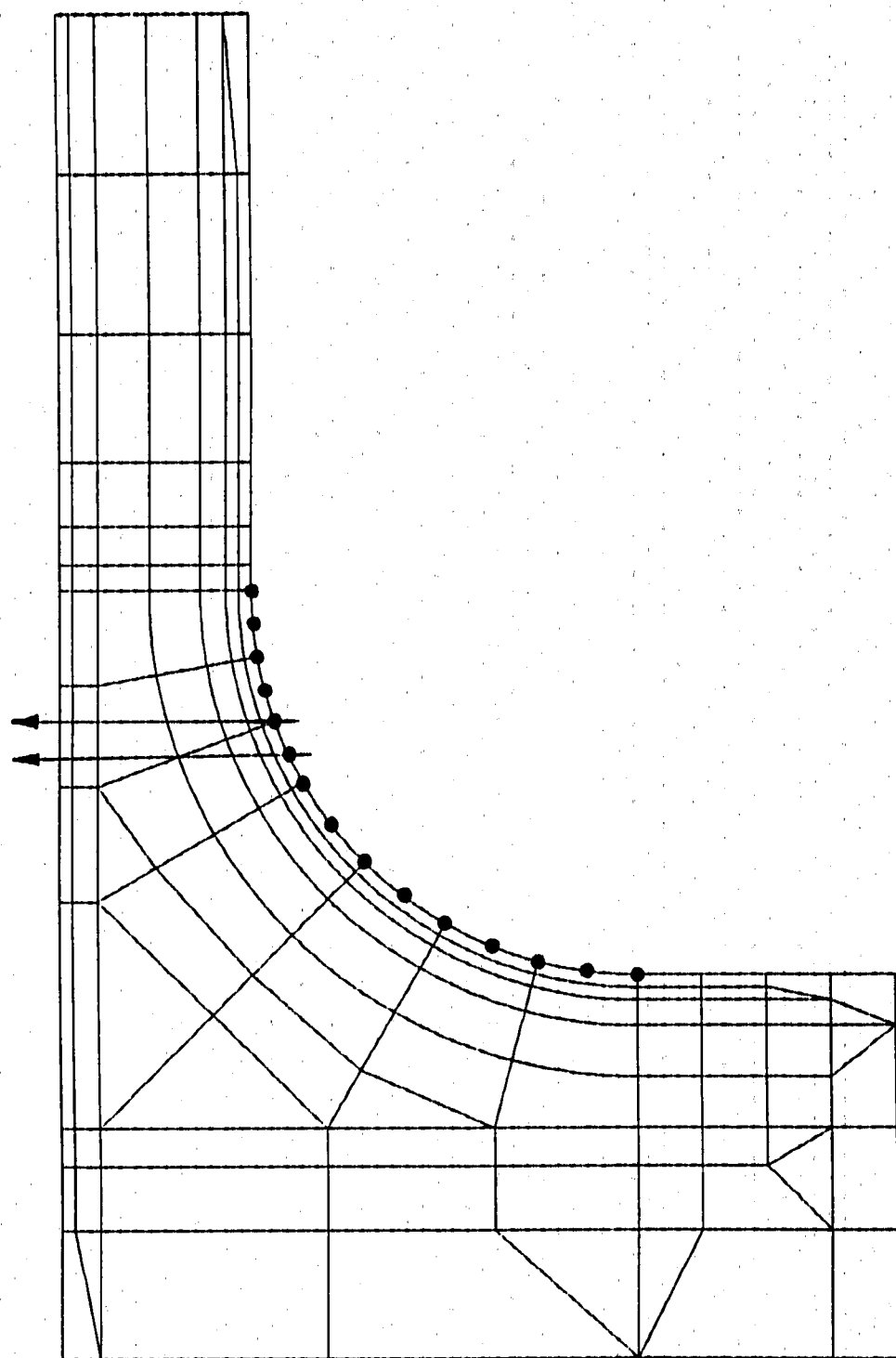
付録Aで示したモデルを使用し，PRINTデータカードを出力するにした場合のプリント結果の一例を表B-1～B-7 に示す。

### 付録C 出力ファイル中の変数名一覧

出力結果の変数名と識別番号の対応を表C-1～C-6 に示す。

尚，変数名と番号の対応の詳細は，本文の4.2節 ファイル出力に示してある。

FINAS



GEOM. SCALE 1 : 15.0000

図A-1 フィレット付円筒モデルメッシュ図  
(RANGE用評価ライン)

## 表A-1 出力結果ファイル(1) (FT14)

ATE : 91-12-17 TIME : 16:34:56

	1	2	3	4	5	6	7
000001	YTITLE	TIME1					
000002	YVALU	10311	.0000000+0,0000000+0				
000003	YTITLE	TIME2					
000004	YVALU	10312	.0000000+0,0000000+0				
000005	XTITLE	R1					
000006	XVALU	10111	502.810791501,808838				
000007	XTITLE	Z1					
000008	XVALU	10121	1017.320801019.73877				
000009	XTITLE	H1					
000010	XVALU	10131	.0000000+0,0000000+0				
000011	XTITLE	R2					
000012	XVALU	10112	484.999756484,999756				
000013	XTITLE	Z2					
000014	XVALU	10122	1017.320801019.73877				
000015	XTITLE	H2					
000016	XVALU	10132	.0000000+0,0000000+0				
000017	YTITLE	D1111					
000018	YVALU	11011	.0000000+0,0000000+0,0000000+0,0000000+0,0000000+0,0000000+0				
000019	YTITLE	D1110					
000020	YVALU	11012	.0000000+0,0000000+0,0000000+0,0000000+0,0000000+0,0000000+0				
000021	YTITLE	D1211					
000022	YVALU	11021	.0000000+0,0000000+0,0000000+0,0000000+0,0000000+0,0000000+0				
000023	YTITLE	D1210					
000024	YVALU	11022	.0000000+0,0000000+0,0000000+0,0000000+0,0000000+0,0000000+0				
000025	YTITLE	D1211					
000026	YVALU	12011	.0000000+0,0000000+0,0000000+0,0000000+0,0000000+0,0000000+0				
000027	YTITLE	D1210					
000028	YVALU	12012	.0000000+0,0000000+0,0000000+0,0000000+0,0000000+0,0000000+0				
000029	YTITLE	D1221					
000030	YVALU	12021	.0000000+0,0000000+0,0000000+0,0000000+0,0000000+0,0000000+0				
000031	YTITLE	D1220					
000032	YVALU	12022	.0000000+0,0000000+0,0000000+0,0000000+0,0000000+0,0000000+0				
000033	YTITLE	DEEPCEQ11					
000034	YVALU	11111	.0000000+0.243007183,243007183,243007183,243007183,243007064				
000035	YTITLE	DEEPCEQ10					
000036	YVALU	11112	.0000000+0.271349907,271349907,271349907,271349907,271349788				
000037	YTITLE	DEPSH11					
000038	YVALU	11121	.0000000+0.224868417,224868417,224868417,224868417,224868417				
000039	YTITLE	DEPSH10					
000040	YVALU	11122	.0000000+0.252265632,252265632,252265632,252265632,252265632				
000041	YTITLE	DEPSF11					
000042	YVALU	11131	.0000000+01.813877-21.813877-21.813877-21.813877-21.813865-2				
000043	YTITLE	DEPSF10					
000044	YVALU	11132	.0000000+01.908427-21.908427-21.908427-21.908427-21.908416-2				
000045	YTITLE	DEPSN111					
000046	YVALU	11141	.0000000+0.216661751,216661751,216661751,216661751,216661751				
000047	YTITLE	DEPSN110					
000048	YVALU	11142	.0000000+0.266987920,266987920,266987920,266988039,266988039				
000049	YTITLE	DEPSF111					
000050	YVALU	11151	.0000000+05.314368-25.314371-25.314368-25.314368-25.314368-2				
000051	YTITLE	DEPSF110					
000052	YVALU	11152	.0000000+03.401899-23.401896-23.401899-23.401899-23.401896-2				
000053	YTITLE	DEEPCEQ21					
000054	YVALU	12111	.0000000+0.246143758,246143758,246143639,246143639,246143639				
000055	YTITLE	DEEPCEQ20					
000056	YVALU	12112	.0000000+0.269871950,269871950,269871950,269871950,269871950				
000057	YTITLE	DEPSN21					
000058	YVALU	12121	.0000000+0.229452014,229452133,229452133,229452133,229452133				
000059	YTITLE	DEPSN20					
000060	YVALU	12122	.0000000+0.258725405,258725405,258725405,258725345,258725345				
000061	YTITLE	DEPSF21					
000062	YVALU	12131	.0000000+01.669174-21.669163-21.669151-21.669151-21.669151-2				
000063	YTITLE	DEPSF20					
000064	YVALU	12132	.0000000+01.114655-21.114655-21.114655-21.114661-21.114661-2				
000065	YTITLE	DEPSN121					
000066	YVALU	12141	.0000000+0.221599579,221599638,221599638,221599638,221599638				
000067	YTITLE	DEPSN120					
000068	YVALU	12142	.0000000+0.270479918,270479858,270479858,270479858,270479858				
000069	YTITLE	DEPSF121					
000070	YVALU	12151	.0000000+04.064149-24.064137-24.064137-24.064137-24.064137-2				
000071	YTITLE	DEPSF120					
000072	YVALU	12152	.0000000+02.234509-22.234511-22.234511-22.234511-22.234511-2				
000073	XTITLE	DEN/2EY11					
000074	XVALU	11181	.0000000+01.214288711,214288711,214288711,214288711,214288711				
000075	XTITLE	DEN/2EY10					
000076	XVALU	11182	.0000000+01.362233161,362233161,362233161,362233161,362233161				
000077	XTITLE	DEN/2EY11					
000078	XVALU	11191	.0000000+01.169972421,169972421,169972421,169972421,169972421				
000079	XTITLE	DEN1/2EY10					
000080	XVALU	11192	.0000000+01.441734311,441734311,441734311,441734311,441734311				

表A-2 出力結果ファイル(2)  
(FT14)

		1	2	3	4	5	6	7	8
.....1....0.....1....0.....1....0.....1....0.....1....0.....1....0.....1....0.....1....0.....1....0									
000081	XTITLE	DEN/2EY21							
000082	XVALU	12181	.0000000+01.239039421.239040371.239040371.239040371.23904037						
000083	XTITLE	DEN/2EY20							
000084	XVALU	12182	.0000000+01.397115711.397115711.397115711.397115711.39711571						
000085	XTITLE	DEN/2EY21							
000086	XVALU	12191	.0000000+01.196636201.196637151.196637151.196637151.19663715						
000087	XTITLE	DEN/2EY20							
000088	XVALU	12192	.0000000+01.460590361.460590361.460590361.460590361.46059036						
000089	XTITLE	VMB11							
000090	XVALU	11211	.0000000+039.367172239.367172239.367172239.367172239.3671570						
000091	XTITLE	VMB10							
000092	XVALU	11212	.0000000+043.958709743.958709743.958709743.958694543.9586792						
000093	XTITLE	DSIGEONH11							
000094	XVALU	11221	.0000000+035.099212635.099227935.099227935.099227935.0992279						
000095	XTITLE	DSIGEONH10							
000096	XVALU	11222	.0000000+043.252029443.252029443.252029443.252029443.2519836						
000097	YTITLE	DTRE611							
000098	YVALU	11231	.0000000+040.858200140.858200140.858200140.858200140.8581848						
000099	YTITLE	DTRE610							
000100	YVALU	11232	.0000000+050.657012950.656997750.656997750.656982450.6569672						
000101	XTITLE	DTREGN11							
000102	XVALU	11241	.0000000+037.925186237.925186237.925186237.925186237.9251862						
000103	XTITLE	DTREGN10							
000104	XVALU	11242	.0000000+049.892639249.892639249.892639249.892639249.8925934						
000105	XTITLE	DSGE/28Y11							
000106	XVALU	11251	.0000000+01.312238691.312238691.312238691.312238691.31223774						
000107	XTITLE	DSGE/28Y10							
000108	XVALU	11252	.0000000+01.465290071.465290071.465290071.465289121.46528912						
000109	XTITLE	DEPS/2EY11							
000110	XVALU	11261	.0000000+01.312237741.312237741.312237741.312237741.31223679						
000111	XTITLE	DEPS/2EY10							
000112	XVALU	11262	.0000000+01.465288161.465288161.465288161.465288161.46528816						
000113	XTITLE	KEP811							
000114	XVALU	11791	1.00000000.999999225.999999225.999999225.999999225.999999225						
000115	XTITLE	KEP810							
000116	XVALU	11792	1.00000000.999998689.999998689.999998689.999999344.999999344						
000117	YTITLE	DENE/28Y11							
000118	XVALU	11201	.0000000+01.169973371.169973371.169973371.169973371.16997337						
000119	YTITLE	DENE/28Y10							
000120	XVALU	11202	.0000000+01.441734311.441734311.441734311.441734311.44173241						
000121	XTITLE	VM821							
000122	XVALU	12211	.0000000+039.875305239.875305239.875289939.875289939.8752899						
000123	XTITLE	VM620							
000124	XVALU	12212	.0000000+043.719268843.719268843.719268843.719268843.7192688						
000125	XTITLE	DSIGEON21							
000126	XVALU	12221	.0000000+035.899169935.899185235.899185235.899169935.8991394						
000127	XTITLE	DSIGEON20							
000128	XVALU	12222	.0000000+043.817688043.817688043.817688043.817703243.8176727						
000129	YTITLE	DTRE621							
000130	YVALU	12231	.0000000+040.969223040.969223040.969223040.969207840.9692230						
000131	YTITLE	DTRE620							
000132	YVALU	12232	.0000000+050.359832850.359832850.359832850.359817550.3598175						
000133	XTITLE	DTRE521							
000134	XVALU	12241	.0000000+038.220214838.220214838.220214838.220214838.2201996						
000135	XTITLE	DTRE520							
000136	XVALU	12242	.0000000+050.480026250.480011050.480026250.480026250.4800110						
000137	XTITLE	DSGE/28Y21							
000138	XVALU	12251	.0000000+01.329175951.329175951.329175951.329175951.32917595						
000139	XTITLE	DSGE/2SY20							
000140	XVALU	12252	.0000000+01.457308771.457308771.457308771.457308771.45730877						
000141	XTITLE	DEPS/2EY21							
000142	XVALU	12261	.0000000+01.329175001.329175001.329174041.329174041.32917404						
000143	XTITLE	DEPS/2EY20							
000144	XVALU	12262	.0000000+01.457307821.457307821.457307821.457307821.45730782						
000145	XTITLE	KEP821							
000146	XVALU	12791	1.00000000.999999225.999999225.999998510.999998510.999998510						
000147	XTITLE	KEP820							
000148	XVALU	12792	1.00000000.999999344.999999344.999999344.999999344.999999344						
000149	XTITLE	DENE/2SY21							
000150	XVALU	12201	.0000000+01.196638111.196639061.196639061.196638111.19663715						
000151	XTITLE	DENE/2SY20							
000152	XVALU	12202	.0000000+01.460589411.460589411.460589411.460589411.46058846						
000153	YTITLE	DEPS111							
000154	YVALU	11301	.0000000+0-9.09411-2-9.09411-2-9.09411-2-9.09411-2-9.09411-2						
000155	YTITLE	DEPS110							
000156	YVALU	11302	.0000000+01.022558-21.022558-21.022558-21.022558-21.022558-2						
000157	YTITLE	DEPS211							
000158	YVALU	11311	.0000000+0.103022099.103022158.103022158.103022158.103022099						
000159	YTITLE	DEPS210							
000160	YVALU	11312	.0000000+0-.21539605-.21539605-.21539605-.21539599-.21539599						
.....1....0.....1....0.....1....0.....1....0.....1....0.....1....0.....1....0.....1....0									

1 2 3 4 5 6 7 8

表A-3 出力結果ファイル(3)  
(FT14)

		1	2	3	4	5	6	7	8
.....	.....	.....	.....	.....	.....	.....	.....	.....	.....
000161	YTITLE	DEPS311							
000162	YVALU	11321	.0000000+0.182713807.182713807.182713807.182713807.182713807						
000163	YTITLE	DEPS310							
000164	YVALU	11322	.0000000+0.191111267.191111267.191111267.191111267.191111267						
000165	YTITLE	DEPS411							
000166	YVALU	11331	.0000000+0.23200249-.23200249-.23200238-.23200238-.23200238						
000167	YTITLE	DEPS410							
000168	YVALU	11332	.0000000+0.3.13943-5+3.13996-5+3.13929-5+3.14103-5+3.14082-5						
000169	YTITLE	DELP8111							
000170	YVALU	11351	.0000000+0.9.54002-2+9.54002-2+9.54003-2+9.54003-2+9.54002+2						
000171	YTITLE	DELP8110							
000172	YVALU	11352	.0000000+03.378358-33.378358-33.378328-33.378347-33.378358+3						
000173	YTITLE	DELP8211							
000174	YVALU	11361	.0000000+0.104598284.104598284.104598284.104598224.104598224						
000175	YTITLE	DLCP8210							
000176	YVALU	11362	.0000000+0.-.20685989+.20685989+.20685989+.20685993-.20685993						
000177	YTITLE	DELP8311							
000178	YVALU	11371	.0000000+0.183187246.183187246.183187246.183187246.183187246						
000179	YTITLE	DELP8310							
000180	YVALU	11372	.0000000+0.190738976.190738976.190738976.190738976.190738976						
000181	YTITLE	DELP8411							
000182	YVALU	11381	.0000000+0.-.15248728-.15248722-.15248716-.15248716-.15248716						
000183	YTITLE	DELP8410							
000184	YVALU	11382	.0000000+0.4.862245-24.862242-24.862245-24.862245-24.862245-2						
000185	YTITLE	DMEPS111							
000186	YVALU	11401	.0000000+0.4.57179-2-4.57179-2-4.57180-2-4.57180-2-4.57179+2						
000187	YTITLE	DMEPS110							
000188	YVALU	11402	.0000000+0.4.57179-2-4.57179-2-4.57180-2-4.57180-2-4.57179+2						
000189	YTITLE	DMEPS211							
000190	YVALU	11411	.0000000+0.5.20546-2-5.20546-2-5.20546-2-5.20546-2-5.20546+2						
000191	YTITLE	DMEPS210							
000192	YVALU	11412	.0000000+0.5.20546-2-5.20546-2-5.20546-2-5.20546-2-5.20546+2						
000193	YTITLE	DMEPS311							
000194	YVALU	11421	.0000000+0.186985552.186985552.186985552.186985552.186985552						
000195	YTITLE	DMEPS310							
000196	YVALU	11422	.0000000+0.186985552.186985552.186985552.186985552.186985552						
000197	YTITLE	DMEPS411							
000198	YVALU	11431	.0000000+0.5.13359-2-5.13359-2-5.13359-2-5.13359-2-5.13359+2						
000199	YTITLE	DMEPS410							
000200	YVALU	11432	.0000000+0.5.13359-2-5.13359-2-5.13359-2-5.13359-2-5.13359+2						
000201	YTITLE	DBEP8111							
000202	YVALU	11451	.0000000+0.-4.96823-~4.96823-2-4.96823-2-4.96823-2-4.96823-2						
000203	YTITLE	DBEP8110							
000204	YVALU	11452	.0000000+0.4.909634-24.909634-24.909634-24.909634-24.909634+2						
000205	YTITLE	DBEP8211							
000206	YVALU	11461	.0000000+0.156652868.156652868.156652868.156652868.156652868						
000207	YTITLE	DBEP8210							
000208	YVALU	11462	.0000000+0.-.15480536-.15480536-.15480536-.15480536-.15480536						
000209	YTITLE	DBEP8311							
000210	YVALU	11471	.0000000+0.-3.79826-3-3.79826-3-3.79826-3-3.79826-3-3.79826+3						
000211	YTITLE	DBEP8310							
000212	YVALU	11472	.0000000+0.3.753459-33.753459-33.753459-33.753459-33.753459+3						
000213	YTITLE	DBEP8411							
000214	YVALU	11481	.0000000+0.-.10115135-.10115129-.10115129-.10115129-.10115129						
000215	YTITLE	DBEP8410							
000216	YVALU	11482	.0000000+0.9.995842-29.995836-29.995836-29.995836-29.995836+2						
000217	YTITLE	DEPS5111							
000218	YVALU	11501	.0000000+0.4.459143-34.459083-34.459143-34.459143-34.459143-3						
000219	YTITLE	DEPS5110							
000220	YVALU	11502	.0000000+0.6.847225-36.847225-36.847255-36.847236-36.847225+3						
000221	YTITLE	DEPS5211							
000222	YVALU	11511	.0000000+0-1.57619-3-1.57613-3-1.57613-3-1.57607-3-1.57613-3						
000223	YTITLE	DEPS5210							
000224	YVALU	11512	.0000000+0-8.53616-3-8.53616-3-8.53616-3-8.53604-3-8.53604+3						
000225	YTITLE	DEPS5311							
000226	YVALU	11521	.0000000+0-4.73439-4-4.73439-4-4.73439-4-4.73439-4-4.73439+4						
000227	YTITLE	DEPS5310							
000228	YVALU	11522	.0000000+0.3.722906-43.722906-43.722906-43.722906-43.722906+4						
000229	YTITLE	DEPS6411							
000230	YVALU	11531	.0000000+0-7.95152-2-7.95153-2-7.95152-2-7.95152-2-7.95152+2						
000231	YTITLE	DEPS6410							
000232	YVALU	11532	.0000000+0-4.86738-2-4.86738-2-4.86738-2-4.86739-2-4.86739+2						
000233	YTITLE	DEPS5121							
000234	YVALU	12301	.0000000+0-.11165154-.11165148-.11165148-.11165148-.11165148						
000235	YTITLE	DEPS5120							
000236	YVALU	12302	.0000000+0.1.36199-21.136199-21.136199-21.136199-21.136199+2						
000237	YTITLE	DEPS5221							
000238	YVALU	12311	.0000000+0.126753449.126753449.126753449.126753449.126753390						
000239	YTITLE	DEPS5220							
000240	YVALU	12312	.0000000+0-.21515912-.21515918-.21515912-.21515906-.21515906						
.....	.....	.....	.....	.....	.....	.....	.....	.....	.....

1      2      3      4      5      6      7      8

表A-4 出力結果ファイル(4)  
(FT14)

		1	2	3	4	5	6	7	8
		.....0.....	.....0.....	.....0.....	.....0.....	.....0.....	.....0.....	.....0.....	.....0.....
000241	YTITLE	DEFP8321							
000242	YVALU	12321	.0000000+0.181106687.	.181106687.	.181106687.	.181106687.	.181106687.	.181106687.	
000243	YTITLE	DEFP8320							
000244	YVALU	12322	.0000000+0.188963056.	.188963056.	.188963056.	.188963056.	.188963056.	.188963056.	
000245	YTITLE	DEFP8421							
000246	YVALU	12323	.0000000+0-.19880438-	.19880426-	.19880426-	.19880426-	.19880426-	.19880426-	
000247	YTITLE	DEFP8420							
000248	YVALU	12322	.0000000+0-5.43882-4-5.43886-4-5.43877-4-5.43893-4-5.43889-4						
000249	YTITLE	DELP8121							
000250	YVALU	12351	.0000000+0-.10598832-	.10598838-	.10598832-	.10598832-	.10598832-	.10598832-	
000251	YTITLE	DELP8120							
000252	YVALU	12352	.0000000+01.002335-21.002337-21.002339-21.002338-21.002338-2						
000253	YTITLE	DELP8221							
000254	YVALU	12361	.0000000+0.119358599.	.119358718.	.119358718.	.119358718.	.119358718.	.119358659	
000255	YTITLE	DLEP8220							
000256	YVALU	12362	.0000000+0-.21394497-	.21394497-	.21394497-	.21394497-	.21394491-	.21394491	
000257	YTITLE	DLEP8321							
000258	YVALU	12371	.0000000+0.180949390.	.180949390.	.180949390.	.180949390.	.180949390.	.180949390.	
000259	YTITLE	DLEP8320							
000260	YVALU	12372	.0000000+0.189941943.	.189941943.	.189941943.	.189941943.	.189941943.	.189941943	
000261	YTITLE	DELP8421							
000262	YVALU	12381	.0000000+0-.13921648-	.13921648-	.13921648-	.13921648-	.13921648-	.13921648	
000263	YTITLE	DELP8420							
000264	YVALU	12382	.0000000+03.287968-23.287971-23.287971-23.287971-2	-2.287971-2					
000265	YTITLE	DEPEP8121							
000266	YVALU	12401	.0000000+0-4.76576-2-4.76576-2-4.76575-2-4.76575-2-4.76575-2						
000267	YTITLE	DEPEP8120							
000268	YVALU	12402	.0000000+0-4.76576-2-4.76576-2-4.76575-2-4.76575-2-4.76575-2						
000269	YTITLE	DEPEP8221							
000270	YVALU	12411	.0000000+0-4.82268-2-4.82268-2-4.82268-2-4.82268-2-4.82268-2						
000271	YTITLE	DMEP8220							
000272	YVALU	12412	.0000000+0-4.82268-2-4.82268-2-4.82268-2-4.82268-2-4.82268-2						
000273	YTITLE	DMEP8321							
000274	YVALU	12421	.0000000+0.185470879.	.185470879.	.185470879.	.185470879.	.185470879.	.185470879.	
000275	YTITLE	DMEP8320							
000276	YVALU	12422	.0000000+0.185470879.	.185470879.	.185470879.	.185470879.	.185470879.	.185470879	
000277	YTITLE	DMEPB421							
000278	YVALU	12431	.0000000+0-5.26864-2-5.26863-2-5.26863-2-5.26863-2-5.26863-2						
000279	YTITLE	DMEPB420							
000280	YVALU	12432	.0000000+0-5.26864-2-5.26863-2-5.26863-2-5.26863-2-5.26863-2						
000281	YTITLE	DEBEP8121							
000282	YVALU	12451	.0000000+0-5.83308-2-5.83308-2-5.83308-2-5.83308-2-5.83308-2						
000283	YTITLE	DEBEP8120							
000284	YVALU	12452	.0000000+05.768090-25.768092-25.768092-25.768090-25.768090-2						
000285	YTITLE	DEBEP8221							
000286	YVALU	12461	.0000000+0.167585433.	.167585492.	.167585492.	.167585492.	.167585492.	.167585492.	
000287	YTITLE	DEBEP8220							
000288	YVALU	12462	.0000000+0-.16571819-	.16571826-	.16571826-	.16571819-	.16571819-	.16571819	
000289	YTITLE	DMEPB321							
000290	YVALU	12471	.0000000+0-4.52147-3-4.52147-3-4.52147-3-4.52147-3-4.52147-3						
000291	YTITLE	DMEPB320							
000292	YVALU	12472	.0000000+04.471089-34.471089-34.471089-34.471089-34.471089-3						
000293	YTITLE	DMEPB421							
000294	YVALU	12481	.0000000+0-8.65301-2-8.65301-2-8.65301-2-8.65301-2-8.65301-2						
000295	YTITLE	DMEPB420							
000296	YVALU	12482	.0000000+08.556604-28.556604-28.556604-28.556604-28.556604-2						
000297	YTITLE	DEFEP8121							
000298	YVALU	12501	.0000000+0-5.66322-3-5.66309-3-5.66316-3-5.66316-3-5.66316-3						
000299	YTITLE	DEFEP8120							
000300	YVALU	12502	.0000000+01.338649-31.338631-31.338601-31.338616-31.338619-3						
000301	YTITLE	DEFEP8221							
000302	YVALU	12511	.0000000+07.394850-37.394731-37.394731-37.394731-37.394731-3						
000303	YTITLE	DFEP8220							
000304	YVALU	12512	.0000000+0-1.21415-3-1.21421-3-1.21415-3-1.21415-3-1.21415-3						
000305	YTITLE	DEFPS321							
000306	YVALU	12521	.0000000+01.572967-41.572967-41.572967-41.572967-41.572967-4						
000307	YTITLE	DEFPS320							
000308	YVALU	12522	.0000000+0-9.78887-4-9.78887-4-9.78887-4-9.78887-4-9.78887-4						
000309	YTITLE	DEFPS421							
000310	YVALU	12531	.0000000+0-5.95879-2-5.95878-2-5.95878-2-5.95878-2-5.95878-2						
000311	YTITLE	DEFPS420							
000312	YVALU	12532	.0000000+0-3.34236-2-3.34236-2-3.34236-2-3.34236-2-3.34236-2						
.....1	.....0.....	.....0.....	.....0.....	.....0.....	.....0.....	.....0.....	.....0.....	.....0.....	.....0.....
1	2	3	4	5	6	7	8	9	0

表A-5 標準フォーマット・データ(1)

(FT19)

DATE : 91-12-17 TIME : 16:34:19

		1	2	3	4	5	6	7	8
000001	PTITLE	FILLET MODEL R=30MM RANGE VLR,4							
000002	PTITLE	TE							
000003	XTITLE	R1							
000004	XVALU	10111	530.000000526.003984522.234863518.518799315.000000511.736816						
000005	XTITLE	Z1							
000006	XVALU	10121	1000.00001000.256841001.021971002.282961004.018801006.19897						
000007	XTITLE	H1							
000008	XVALU	10131	.0000000+0.000000+0.000000+0.000000+0.000000+0.000000+0						
000009	XTITLE	R2							
000010	XVALU	10112	529.319824484.999756484.999756484.999756484.999756484.999756						
000011	XTITLE	Z2							
000012	XVALU	10122	1.525879-5688.093018862.251465921.362349952.106934971.358887						
000013	XTITLE	H2							
000014	XVALU	10132	.0000000+0.000000+0.000000+0.000000+0.000000+0.000000+0						
000015	YTITLE	TEMPMAX							
000016	YVALU	13061	549.999512549.999512549.999512549.999512549.999512549.999512						
000017	YTITLE	TIME1							
000018	YVALU	10311	.0000000+0.000000+0.000000+0.000000+0.000000+0.000000+0						
000019	YTITLE	TEMP1							
000020	YVALU	10111	549.999512549.999512549.999512549.999512549.999512549.999512						
000021	YTITLE	LTEMP1							
000022	YVALU	11021	549.999268549.999756549.999268549.99835549.999512549.999756						
000023	YTITLE	MTEMP1							
000024	YVALU	11031	549.999512550.000000549.999268549.99835549.999512549.999756						
000025	YTITLE	STR611							
000026	YVALU	11651	.0000000+0.000000+0.000000+0.000000+0.000000+0.000000+0						
000027	YTITLE	STR621							
000028	YVALU	11661	.0000000+0.000000+0.000000+0.000000+0.000000+0.000000+0						
000029	YTITLE	STR631							
000030	YVALU	11671	.0000000+0.000000+0.000000+0.000000+0.000000+0.000000+0						
000031	YTITLE	STR641							
000032	YVALU	11681	.0000000+0.000000+0.000000+0.000000+0.000000+0.000000+0						
000033	YTITLE	LSTR611							
000034	YVALU	11701	.0000000+0.000000+0.000000+0.000000+0.000000+0.000000+0						
000035	YTITLE	LSTR621							
000036	YVALU	11711	.0000000+0.000000+0.000000+0.000000+0.000000+0.000000+0						
000037	YTITLE	LSTR631							
000038	YVALU	11721	.0000000+0.000000+0.000000+0.000000+0.000000+0.000000+0						
000039	YTITLE	LSTR641							
000040	YVALU	11731	.0000000+0.000000+0.000000+0.000000+0.000000+0.000000+0						
000041	YTITLE	MSTR611							
000042	YVALU	11751	.0000000+0.000000+0.000000+0.000000+0.000000+0.000000+0						
000043	YTITLE	MSTR621							
000044	YVALU	11761	.0000000+0.000000+0.000000+0.000000+0.000000+0.000000+0						
000045	YTITLE	MSTR631							
000046	YVALU	11771	.0000000+0.000000+0.000000+0.000000+0.000000+0.000000+0						
000047	YTITLE	MSTR641							
000048	YVALU	11781	.0000000+0.000000+0.000000+0.000000+0.000000+0.000000+0						
000049	YTITLE	EE11							
000050	YVALU	11301	.0000000+0.000000+0.000000+0.000000+0.000000+0.000000+0						
000051	YTITLE	EE21							
000052	YVALU	11311	.0000000+0.000000+0.000000+0.000000+0.000000+0.000000+0						
000053	YTITLE	EE31							
000054	YVALU	11321	.0000000+0.000000+0.000000+0.000000+0.000000+0.000000+0						
000055	YTITLE	EE41							
000056	YVALU	11331	.0000000+0.000000+0.000000+0.000000+0.000000+0.000000+0						
000057	YTITLE	EP11							
000058	YVALU	11551	.0000000+0.000000+0.000000+0.000000+0.000000+0.000000+0						
000059	YTITLE	EP21							
000060	YVALU	11561	.0000000+0.000000+0.000000+0.000000+0.000000+0.000000+0						
000061	YTITLE	EP31							
000062	YVALU	11571	.0000000+0.000000+0.000000+0.000000+0.000000+0.000000+0						
000063	YTITLE	EP41							
000064	YVALU	11581	.0000000+0.000000+0.000000+0.000000+0.000000+0.000000+0						
000065	YTITLE	EC11							
000066	YVALU	11601	.0000000+0.000000+0.000000+0.000000+0.000000+0.000000+0						
000067	YTITLE	EC21							
000068	YVALU	11611	.0000000+0.000000+0.000000+0.000000+0.000000+0.000000+0						
000069	YTITLE	EC31							
000070	YVALU	11621	.0000000+0.000000+0.000000+0.000000+0.000000+0.000000+0						
000071	YTITLE	EC41							
000072	YVALU	11631	.0000000+0.000000+0.000000+0.000000+0.000000+0.000000+0						
000073	YTITLE	T1NE2							
000074	YVALU	10311	.0000000+0.000000+0.000000+0.000000+0.000000+0.000000+0						
000075	YTITLE	TEMP2							
000076	YVALU	12011	549.999512549.999512549.999512549.999512549.999512549.999512						
000077	YTITLE	LTEMP2							
000078	YVALU	12021	549.999268549.999756549.999268549.99835549.999512549.999756						
000079	YTITLE	MTEMP2							
000080	YVALU	12031	549.999512550.000000549.999268549.99835549.999512549.999756						
		.....0.....0.....0.....0.....0.....0.....0.....0.....0.....0.....0.....0							

表A-6 標準フォーマット・データ(2)  
(FT19)

	1	2	3	4	5	6	7	8
.....1....0.....1....0.....1....0.....1....0.....1....0.....1....0.....1....0								
000081	YTITLE	SIRB12						
000082	YVALU	12651	-6.97908-26.104797-2-7.94358-29.813109-4-8.11758-27.986049-7					
000083	YTITLE	SIRB22						
000084	YVALU	12661	10.723078713.647678415.761677118.33.1103620.962927224.3333130					
000085	YTITLE	SIRB32						
000086	YVALU	12671	32.540695233.657730134.435073939.390045236.155044637.3835907					
000087	YTITLE	SIRB42						
000088	YVALU	12681	6.214224-2-1.01101-2-6.78149-2-1.10334-3-4.68378-2-1.07174-2					
000089	YTITLE	SIRB52						
000090	YVALU	12691	.266274810.9670412541.992399222.927766803.634322174.23031616					
000091	YTITLE	SIRB62						
000092	YVALU	12711	3.074479103.748387345.163458827.248813639.6029834713.6217222					
000093	YTITLE	SIRB832						
000094	YVALU	12721	30.770156931.201660231.988449133.018264834.056655935.4846497					
000095	YTITLE	SIRB842						
000096	YVALU	12731	.163098693.167738557.5784794691.069658281.850157742.48372173					
000097	YTITLE	SIRB812						
000098	YVALU	12751	4.323488-2.125046551.259780407.388439953.471082091.575758874					
000099	YTITLE	SIRB822						
000100	YVALU	12761	2.808833121.560892111.692247391.928628922.074009902.57676601					
000101	YTITLE	SIRB832						
000102	YVALU	12771	30.834381132.198623737.300277732.403900132.480041532.6037292					
000103	YTITLE	SIRB842						
000104	YVALU	12781	3.214978-2-10147309-.20206099-.34993303-.47312614-.72589618					
000105	YTITLE	EE12						
000106	YVALU	12301	-8.05491-2-8.72257-2-9.34471-2-9.95178-2-.10553402-.11410659					
000107	YTITLE	EE22						
000108	YVALU	12311	6.059822-32.180199-23.367323-24.774959-26.012732-28.092046-2					
000109	YTITLE	EE32						
000110	YVALU	12321	.181142032.182379186.183522642.184470236.185252726.185648739					
000111	YTITLE	EE42						
000112	YVALU	12331	9.973343-4-1.62192-4-1.08796-3-1.57207-5-7.90721-4-1.71393-4					
000113	YTITLE	EP12						
000114	YVALU	12551	.0000000+0.0000000+0.0000000+0.0000000+0.0000000+0.0000000+0					
000115	YTITLE	EP22						
000116	YVALU	12561	.0000000+0.0000000+0.0000000+0.0000000+0.0000000+0.0000000+0					
000117	YTITLE	EP32						
000118	YVALU	12571	.0000000+0.0000000+0.0000000+0.0000000+0.0000000+0.0000000+0					
000119	YTITLE	EP42						
000120	YVALU	12581	.0000000+0.0000000+0.0000000+0.0000000+0.0000000+0.0000000+0					
000121	YTITLE	EC12						
000122	YVALU	12601	.0000000+0.0000000+0.0000000+0.0000000+0.0000000+0.0000000+0					
000123	YTITLE	EC22						
000124	YVALU	12611	.0000000+0.0000000+0.0000000+0.0000000+0.0000000+0.0000000+0					
000125	YTITLE	EC32						
000126	YVALU	12621	.0000000+0.0000000+0.0000000+0.0000000+0.0000000+0.0000000+0					
000127	YTITLE	EC42						
000128	YVALU	12631	.0000000+0.0000000+0.0000000+0.0000000+0.0000000+0.0000000+0					
.....1....0.....1....0.....1....0.....1....0.....1....0.....1....0								
	1	2	3	4	5	6	7	8

## 表B-1 プリント出力(1)

\*\*\* INPUT DATA IMAGE \*\*\*

```

1 V-----+-----+-----+-----+-----+-----+-----+-----+-----+-----+
2 |TITLE| FILLET MODEL R-JOHN RANGE VER.4
3 |V| XOPENEDPNTS|EPSR|EPSZ|EPS-TN|GAM-R2|NSES|TIME|EPS-R|EPS-Z|EPS-TN|GAM-R2|
4 |OPEN| 0 0 0 0 0 0 0 0 0 0 0
5 |V| XPARMDEPSRANGEVER1 REINVENTHNECUL
6 |CONT| 0 0 0 0 0 0 0 0 0 0 0
7 |CONT| 0 0 0 0 0 0 0 0 0 0 0
8 |V| XPAIN| 0 0 0 0 0 0 0 0 0 0 0
9 |PAIN| 0 0 0 0 0 0 0 0 0 0 0
10 |V| XOUTP| 0 0 0 0 0 0 0 0 0 0 0
11 |OUTP| 0 0 0 0 0 0 0 0 0 0 0
12 |ISTE| 1 90 1 90 4 90
13 |ESTE| 1 90 1 90
14 |V| XTABLE| 0 0 0 0 0 0 0 0 0 0 0
15 |TABLE| 0 0 0 0 0 0 0 0 0 0 0
16 |NAT| 1 1 1 1 1 1 1 1 1 1 1
17 | 300.0 16200.0 0.300 19.0
18 |NAT IONE IDLN IDLN NODS MODE ANGLI
19 | 0 0 0 0 0 0 0 0 0 0 0
20 |LINE NODE L-110 0.001 100.0
21 |LINE NODE L-111 0.001 100.0
22 |END
23
24 ***** REQUESTED MEMORY STORE (ELEM) = 20001 bytes
25 ***** REQUESTED MEMORY (LINE ELEM.) = 32683 bytes
26
27 ELEMENTS ON EACH S.C.L.
28 S.C.L. L-110
29 POINT-1 CORD. 302.41 1017.3 ELEM. 001 2 3 1 IP. 0 0 0
30 POINT-2 CORD. 302.26 1017.3 ELEM. 001 001 001 10. 4 6 5
31 POINT-3 CORD. 301.71 1017.3 ELEM. 001 002 001 10. 3 6 4
32 POINT-4 CORD. 301.16 1017.3 ELEM. 002 002 002 10. 3 6 4
33 POINT-5 CORD. 300.62 1017.3 ELEM. 002 003 002 10. 6 6 5
34 POINT-6 CORD. 299.34 1017.3 ELEM. 003 003 003 10. 6 6 5
35 POINT-7 CORD. 298.45 1017.3 ELEM. 003 004 003 10. 7 7 8
36 POINT-8 CORD. 298.81 1017.3 ELEM. 004 004 004 10. 8 9 2
37 POINT-9 CORD. 295.10 1017.3 ELEM. 004 004 004 10. 7 1 8
38 POINT-10 CORD. 294.67 1017.3 ELEM. 004 004 005 10. 1 1 7 3
39 POINT-11 CORD. 294.10 1017.3 ELEM. 005 005 004 10. 1 1 7 3
40 POINT-12 CORD. 291.09 1017.3 ELEM. 005 005 005 10. 2 2 5 8
41 POINT-13 CORD. 288.00 1017.3 ELEM. 006 005 005 10. 6 6 1
42 POINT-14 CORD. 287.13 1017.3 ELEM. 006 006 006 10. 3 3 4 8
43 POINT-15 CORD. 286.00 1017.3 ELEM. 007 006 007 10. 6 6 1
44 POINT-16 CORD. 285.50 1017.3 ELEM. 007 007 007 10. 3 3 4 8
45 POINT-17 CORD. 285.00 1017.3 ELEM. 007 2 2 2 IP. 0 0 0
46 S.C.L. L-111
47 POINT-1 CORD. 301.81 1019.7 ELEM. 001 2 3 1 IP. 0 0 0
48 POINT-2 CORD. 301.26 1019.7 ELEM. 001 001 001 10. 2 2 1
49 POINT-3 CORD. 300.73 1019.7 ELEM. 001 002 001 10. 1 1 2 1
50 POINT-4 CORD. 300.23 1019.7 ELEM. 002 002 002 10. 0 0 0
51 POINT-5 CORD. 299.69 1019.7 ELEM. 002 003 002 10. 1 1 2 1
52 POINT-6 CORD. 298.64 1019.7 ELEM. 003 003 003 10. 1 1 2 1
53 POINT-7 CORD. 297.38 1019.7 ELEM. 003 006 003 10. 1 1 2 1
54 POINT-8 CORD. 295.30 1019.7 ELEM. 004 004 004 10. 3 3 2 8
55 POINT-9 CORD. 293.41 1019.7 ELEM. 004 005 004 10. 6 6 1
56 POINT-10 CORD. 290.71 1019.7 ELEM. 005 005 005 10. 3 3 4 8
57 POINT-11 CORD. 288.00 1019.7 ELEM. 005 006 006 10. 6 6 1
58 POINT-12 CORD. 287.00 1019.7 ELEM. 006 006 006 10. 3 3 4 8
59 POINT-13 CORD. 286.00 1019.7 ELEM. 007 006 007 10. 6 6 1
60 POINT-14 CORD. 285.50 1019.7 ELEM. 007 007 007 10. 3 3 4 8
61 POINT-15 CORD. 285.00 1019.7 ELEM. 007 2 2 2 IP. 0 0 0
62 ***** REQUESTED MEMORY (STORE SIRS) = 10623 bytes
63 ***** REQUESTED MEMORY ( RANGE-B ) = 31037 bytes
64 ***** FILLET MODEL R-JOHN RANGE VER.4
65 TEMP RANGE (011,012) (IN-ELASTIC)

```

LINE	BT1	BT2	SURFACE - 1				SURFACE - 2						
			TIME	TOTAL	MEN	BEN	PEAK	BT1	BT2	TIME	TOTAL	MEN	BEN
L-110	0.0	0.0 HOT	0.00	350.0	350.0	0.0	0.0	0.0 HOT	0.00	350.0	350.0	0.0	0.0
		HOT 50000.00	350.0	350.0	0.0	0.0		HOT 50000.00	350.0	350.0	0.0	0.0	
L-111	0.0	0.0 HOT	0.00	350.0	350.0	0.0	0.0	0.0 HOT	0.00	350.0	350.0	0.0	0.0
		HOT 50000.00	350.0	350.0	0.0	0.0		HOT 50000.00	350.0	350.0	0.0	0.0	

LINE	MISES	TIME	SURFACE - 1				SURFACE - 2				
			EPS-R	EPS-Z	EPS-TN	GAM-R2	MISES	TIME	EPS-R	EPS-Z	EPS-TN
L-110	0.3322	HOT 0.00	0.0000	0.0000	0.0000	0.3747	HOT 0.00	0.0000	0.0000	0.0000	
		HOT 50000.00	-0.3708	0.1638	0.2322	-0.3634	HOT 50000.00	0.1122	-0.3709	0.2459	0.0011
L-111	0.3318	HOT 0.00	0.0000	0.0000	0.0000	0.3738	HOT 0.00	0.0000	0.0000	0.0000	0.0000
		HOT 50000.00	-0.4329	0.2481	0.2295	-0.5058	HOT 50000.00	0.1152	-0.3707	0.2479	-0.0043

LINE	MISES	TIME	SURFACE - 1				SURFACE - 2				
			EPS-R	EPS-Z	EPS-TN	GAM-R2	MISES	TIME	EPS-R	EPS-Z	EPS-TN
L-110	0.4667	HOT 0.00	0.0000	0.0000	0.0000	0.3645	HOT 0.00	0.0000	0.0000	0.0000	0.0000
		HOT 50000.00	-0.3289	0.1819	0.2339	-0.4185	HOT 50000.00	0.0947	-0.3454	0.2463	0.1436
L-111	0.5017	HOT 0.00	0.0000	0.0000	0.0000	0.3791	HOT 0.00	0.0000	0.0000	0.0000	0.0000

表B-2 プリント出力(2)

表 B-3 プリント出力(3)

表B-4 プリント出力(4)

87 HOT 50000.00 350.000 350.000 350.000 0.000 -0.001 349.999 350.000 350.000 0.000 -0.001  
 88 HOT 50000.00 350.000 350.000 350.000 0.000 -0.001 349.999 350.000 350.000 0.000 -0.001  
 89 HOT 50000.00 350.000 350.000 350.000 0.000 -0.001 349.999 350.000 350.000 0.000 -0.001  
 90 HOT 50000.00 350.000 350.000 350.000 0.000 -0.001 349.999 350.000 350.000 0.000 -0.001

FILLET MODEL R=JOHN RANGE VER.4  
 STRAIN HISTORY ( TOTAL ) (IN-ELASTIC)  
 LINE ( L-111 )

STEP	TIME	SURFACE : 1				SURFACE : 2			
		MISES	EPS-X	EPS-Y	EPS-Z	MISES	EPS-X	EPS-Y	EPS-Z
1	HOT 0.00	0.0000	0.0000	0.0000	0.0000	0.0000	0.0000	0.0000	0.0000
2	HOT 0.00	0.2133	-0.1117	0.1948	0.1011	-0.1988	0.2339	0.0114	-0.2132
3	HOT 0.00	0.2133	-0.1117	0.1948	0.1011	-0.1988	0.2339	0.0114	-0.2132
4	HOT 0.00	0.2133	-0.1117	0.1948	0.1011	-0.1988	0.2339	0.0114	-0.2132
5	HOT 0.00	0.2138	-0.1122	0.1949	0.1011	-0.1993	0.2341	0.0116	-0.2135
6	HOT 0.00	0.2147	-0.1122	0.1970	0.1011	-0.2002	0.2346	0.0120	-0.2167
7	HOT 0.00	0.2164	-0.1151	0.1974	0.1011	-0.2021	0.2354	0.0126	-0.2176
8	HOT 0.00	0.2197	-0.1187	0.1981	0.1017	-0.2059	0.2370	0.0143	-0.2200
9	HOT 0.00	0.2236	-0.1233	0.1973	0.1013	-0.2113	0.2394	0.0147	-0.2239
10	HOT 0.00	0.2232	-0.1337	0.1907	0.1014	-0.2206	0.2426	0.0193	-0.2284
11	HOT 0.00	0.2401	-0.1414	0.1930	0.1014	-0.2280	0.2491	0.0110	-0.2321
12	HOT 0.00	0.2428	-0.1464	0.1939	0.1017	-0.2310	0.2461	0.0276	-0.2353
13	HOT 0.19	0.2431	-0.1467	0.1970	0.1017	-0.2313	0.2462	0.0227	-0.2337
14	HOT 0.19	0.2436	-0.1452	0.1927	0.1017	-0.2319	0.2464	0.0229	-0.2339
15	HOT 0.19	0.2447	-0.1464	0.1929	0.1017	-0.2320	0.2466	0.0222	-0.2343
16	HOT 0.19	0.2467	-0.1466	0.1923	0.1018	-0.2352	0.2473	0.0226	-0.2355
17	HOT 0.19	0.2503	-0.1527	0.1940	0.1019	-0.2393	0.2488	0.0250	-0.2374
18	HOT 0.19	0.2571	-0.1599	0.1954	0.1021	-0.2464	0.2512	0.0271	-0.2407
19	HOT 0.19	0.2632	-0.1665	0.1968	0.1024	-0.2530	0.2534	0.0289	-0.2438
20	HOT 0.30	0.2634	-0.1667	0.1968	0.1024	-0.2533	0.2534	0.0290	-0.2437
21	HOT 0.30	0.2639	-0.1672	0.1969	0.1024	-0.2537	0.2535	0.0291	-0.2439
22	HOT 0.30	0.2647	-0.1680	0.1971	0.1025	-0.2544	0.2535	0.0294	-0.2443
23	HOT 0.30	0.2663	-0.1698	0.1975	0.1026	-0.2564	0.2545	0.0299	-0.2451
24	HOT 0.30	0.2694	-0.1730	0.1982	0.1027	-0.2597	0.2556	0.0308	-0.2468
25	HOT 0.30	0.2749	-0.1769	0.1995	0.1031	-0.2654	0.2576	0.0326	-0.2472
26	HOT 0.30	0.2803	-0.1844	0.1997	0.1034	-0.2712	0.2596	0.0340	-0.2518
27	HOT 0.33	0.2808	-0.1846	0.1998	0.1034	-0.2715	0.2596	0.0341	-0.2518
28	HOT 0.33	0.2808	-0.1850	0.1999	0.1035	-0.2719	0.2598	0.0342	-0.2520
29	HOT 0.33	0.2815	-0.1858	0.1991	0.1035	-0.2727	0.2600	0.0344	-0.2524
30	HOT 0.33	0.2829	-0.1873	0.1994	0.1036	-0.2741	0.2606	0.0348	-0.2531
31	HOT 0.33	0.2857	-0.1902	0.1992	0.1036	-0.2773	0.2616	0.0357	-0.2544
32	HOT 0.33	0.2908	-0.1934	0.1994	0.1043	-0.2837	0.2623	0.0370	-0.2567
33	HOT 0.33	0.2957	-0.2004	0.1947	0.1047	-0.2880	0.2654	0.0386	-0.2591
34	HOT 1.00	0.2959	-0.2007	0.1947	0.1047	-0.2882	0.2655	0.0387	-0.2592
35	HOT 1.00	0.2966	-0.2011	0.1949	0.1048	-0.2887	0.2657	0.0388	-0.2594
36	HOT 1.00	0.2973	-0.2020	0.1951	0.1048	-0.2897	0.2660	0.0391	-0.2598
37	HOT 1.00	0.2990	-0.2028	0.1956	0.1050	-0.2913	0.2667	0.0396	-0.2606
38	HOT 1.00	0.3022	-0.2071	0.1964	0.1053	-0.2950	0.2679	0.0403	-0.2621
39	HOT 1.00	0.3041	-0.2130	0.1980	0.1060	-0.3013	0.2702	0.0423	-0.2649
40	HOT 1.00	0.3137	-0.2168	0.1996	0.1064	-0.3073	0.2735	0.0439	-0.2675
41	HOT 100.00	0.3221	-0.2270	0.1930	0.1077	-0.3163	0.2758	0.0464	-0.2714
42	HOT 100.00	0.3286	-0.2334	0.1939	0.1085	-0.3232	0.2785	0.0483	-0.2743
43	HOT 100.00	0.3357	-0.2404	0.1950	0.1086	-0.3308	0.2813	0.0503	-0.2770
44	HOT 100.00	0.3427	-0.2471	0.1981	0.1090	-0.3382	0.2844	0.0524	-0.2811
45	HOT 100.00	0.3498	-0.2540	0.1983	0.1094	-0.3457	0.2873	0.0544	-0.2844
46	HOT 100.00	0.3569	-0.2607	0.1985	0.1096	-0.3532	0.2903	0.0565	-0.2877
47	HOT 100.00	0.3640	-0.2673	0.1988	0.1092	-0.3608	0.2933	0.0585	-0.2910
48	HOT 100.00	0.3711	-0.2742	0.1970	0.1095	-0.3683	0.2968	0.0606	-0.2943
49	HOT 100.00	0.3781	-0.2809	0.1994	0.1098	-0.3758	0.2999	0.0637	-0.2976
50	HOT 100.00	0.3852	-0.2874	0.1917	0.1081	-0.3822	0.3030	0.0647	-0.3009
51	HOT 100.00	0.3922	-0.2939	0.1741	0.1094	-0.3907	0.3061	0.0648	-0.3041
52	HOT 100.00	0.3991	-0.3003	0.1769	0.2004	-0.3980	0.3092	0.0668	-0.3073
53	HOT 100.00	0.4059	-0.3047	0.1768	0.2021	-0.4052	0.3127	0.0709	-0.3104
54	HOT 100.00	0.4126	-0.3129	0.1813	0.2034	-0.4147	0.3191	0.0729	-0.3139
55	HOT 100.00	0.4192	-0.3189	0.1836	0.2046	-0.4195	0.3190	0.0748	-0.3164
56	HOT 100.00	0.4258	-0.3249	0.1859	0.2059	-0.4264	0.3209	0.0768	-0.3193
57	HOT 100.00	0.4327	-0.3307	0.1882	0.2071	-0.4332	0.3231	0.0787	-0.3221
58	HOT 100.00	0.4384	-0.3364	0.1906	0.2082	-0.4400	0.3263	0.0805	-0.3246
59	HOT 100.00	0.4446	-0.3420	0.1929	0.2094	-0.4466	0.3299	0.0824	-0.3273
60	HOT 100.00	0.4507	-0.3473	0.1951	0.2105	-0.4530	0.3315	0.0842	-0.3300
61	HOT 100.00	0.4514	-0.3481	0.1954	0.2106	-0.4538	0.3318	0.0844	-0.3303
62	HOT 1000.00	0.4536	-0.3501	0.1963	0.2110	-0.4562	0.3327	0.0850	-0.3312
63	HOT 1000.00	0.4576	-0.3537	0.1978	0.2118	-0.4605	0.3343	0.0862	-0.3320
64	HOT 1000.00	0.4639	-0.3594	0.2002	0.2129	-0.4673	0.3394	0.0881	-0.3350
65	HOT 1000.00	0.4694	-0.3643	0.2024	0.2139	-0.4733	0.3392	0.0897	-0.3376
66	HOT 1000.00	0.4750	-0.3693	0.2047	0.2149	-0.4793	0.3414	0.0913	-0.3398
67	HOT 1000.00	0.4805	-0.3742	0.2069	0.2158	-0.4852	0.3436	0.0929	-0.3419
68	HOT 1000.00	0.4859	-0.3790	0.2091	0.2167	-0.4911	0.3456	0.0944	-0.3440
69	HOT 1000.00	0.4912	-0.3836	0.2112	0.2176	-0.4968	0.3477	0.0959	-0.3460
70	HOT 1000.00	0.4964	-0.3882	0.2134	0.2185	-0.5024	0.3496	0.0974	-0.3478
71	HOT 1000.00	0.5015	-0.3927	0.2153	0.2193	-0.5080	0.3515	0.0988	-0.3497
72	HOT 1000.00	0.5063	-0.3971	0.2177	0.2202	-0.5133	0.3533	0.1002	-0.3514
73	HOT 1000.00	0.5089	-0.3991	0.2187	0.2203	-0.5161	0.3542	0.1006	-0.3521
74	HOT 1000.00	0.5107	-0.4008	0.2195	0.2208	-0.5181	0.3549	0.1013	-0.3529
75	HOT 1000.00	0.5141	-0.4017	0.2210	0.2214	-0.5218	0.3560	0.1022	-0.3540
76	HOT 1000.00	0.5194	-0.4082	0.2233	0.2222	-0.5276	0.3579	0.1036	-0.3558
77	HOT 1000.00	0.5240	-0.4123	0.2254	0.2229	-0.5327	0.3593	0.1048	-0.3573
78	HOT 1000.00	0.5287	-0.4163	0.2275	0.2238	-0.5379	0.3610	0.1060	-0.3588
79	HOT 1000.00	0.5334	-0.4203	0.2294	0.2243	-0.5430	0.3621	0.1071	-0.3602
80	HOT 1000.00	0.5379	-0.4262	0.2317	0.2250	-0.5481	0.3640	0.1082	-0.3616
81	HOT 1000.00	0.5425	-0.4280	0.2328	0.2256	-0.5521	0.3654	0.1093	-0.3629
82	HOT 1000.00	0.5465	-0.4318	0.2359	0.2262	-0.5581	0.3668	0.1104	-0.3642
83	HOT 1000.00	0.5514	-0.4316	0.2381	0.2268	-0.5630	0.3681	0.1114	-0.3655
84	HOT 1000.00	0.5550	-0.4392	0.2402	0.2274	-0.5679	0.3694	0.1124	-0.3666
85	HOT 1000.00	0.5583	-0.4413	0.2414	0.2278	-0.5707	0.3701	0.1129	-0.3673
86	HOT 1000.00	0.5590	-0.4419	0.2417	0.2279	-0.5715	0.3703	0.1131	-0.3675
87	HOT 1000.00	0.5608	-0.4431	0.2424	0.2280	-0.5730	0.3707	0.1134	-0.3679
88	HOT 1000.00	0.5630	-0.4453	0.2427	0.2284	-0.5760	0.3714	0.1139	-0.3685
89	HOT 1000.00	0.5676	-0.4491	0.2466	0.2290	-0.5811	0.3727	0.1149	-0.3697
90	HOT 1000.00	0.5718	-0.4525	0.2481	0.2295	-0.5850	0.3738		

表B-5 プリント出力(5)

07 NOT 50000.00 2.284 -0.419 +0.060 -0.301 0.011 2.268 +0.393 -0.009 +2.750 -0.430  
 08 NOT 50000.00 2.292 -0.412 -0.024 -0.307 0.011 2.262 +0.393 -0.110 +2.750 -0.440  
 09 NOT 50000.00 2.197 -0.399 -0.001 -0.192 0.023 2.219 -0.391 -0.159 +2.692 -0.430  
 10 NOT 50000.00 2.146 -0.387 -0.003 -0.068 0.023 2.187 -0.380 -0.204 +2.682 -0.430

FILLET MODEL R=30MM RANGE VER.4  
 00-STRESS-EQ-STRAIN HISTORY (IN-ELASTIC)  
 LINE ( L+111 )

STEP	TIME	SURFACE : 1		SURFACE : 2	
		S10-EQ	SPP-EQ	S10-EQ	SPP-EQ
1	NOT 0.00	0.000	0.0000	0.000	0.0000
2	NOT 0.00	39.873	0.3661	-0.1.719	-0.2699
3	NOT 0.00	39.873	0.3661	-0.1.719	-0.2699
4	NOT 0.00	39.873	0.3661	-0.1.719	-0.2699
5	NOT 0.00	39.791	0.3461	-0.1.421	-0.2699
6	NOT 0.00	39.826	0.3473	-0.1.861	-0.2699
7	NOT 0.00	39.799	0.3460	-0.1.860	-0.2699
8	NOT 0.00	38.684	0.3516	-0.0.190	-0.2701
9	NOT 0.00	37.580	0.3568	-0.1.721	-0.2700
10	NOT 0.00	36.176	0.3620	-0.1.322	-0.2717
11	NOT 0.00	36.916	0.3609	-0.1.601	-0.2720
12	NOT 0.00	36.423	0.3712	-0.1.010	-0.2711
13	NOT 0.13	36.306	0.3714	-0.1.951	-0.2714
14	NOT 0.13	36.292	0.3719	-0.2.044	-0.2735
15	NOT 0.13	34.109	0.3720	-0.2.629	-0.2737
16	NOT 0.13	31.757	0.3743	-0.2.220	-0.2741
17	NOT 0.13	33.105	0.3770	-0.1.473	-0.2748
18	NOT 0.13	31.977	0.3823	-0.2.226	-0.2763
19	NOT 0.13	30.972	0.3864	-0.1.167	-0.2775
20	NOT 0.30	30.826	0.3889	-0.1.112	-0.2775
21	NOT 0.30	30.871	0.3893	-0.0.063	-0.2776
22	NOT 0.30	30.738	0.3900	-0.0.928	-0.2778
23	NOT 0.30	30.482	0.3914	-0.0.667	-0.2782
24	NOT 0.30	30.002	0.3941	-0.1.180	-0.2789
25	NOT 0.30	29.151	0.3990	-0.1.326	-0.2802
26	NOT 0.30	28.340	0.4034	-0.1.545	-0.2816
27	NOT 0.33	28.333	0.4038	-0.1.518	-0.2817
28	NOT 0.33	28.278	0.3941	-0.1.465	-0.2818
29	NOT 0.33	28.171	0.3948	-0.1.360	-0.2820
30	NOT 0.33	27.962	0.3961	-0.1.158	-0.2823
31	NOT 0.33	27.346	0.3963	-0.1.773	-0.2831
32	NOT 0.33	26.681	0.3130	-0.1.088	-0.2845
33	NOT 0.33	26.192	0.3174	-0.1.444	-0.2858
34	NOT 1.00	26.162	0.3176	-0.1.415	-0.2859
35	NOT 1.00	26.102	0.3180	-0.1.358	-0.2860
36	NOT 1.00	25.985	0.3188	-0.1.246	-0.2863
37	NOT 1.00	25.759	0.3203	-0.1.030	-0.2868
38	NOT 1.00	25.337	0.3212	-0.1.627	-0.2878
39	NOT 1.00	24.594	0.3285	-0.2.920	-0.2893
40	NOT 1.00	23.911	0.3335	-0.2.273	-0.2913
41	NOT 100.00	22.920	0.3411	-0.1.327	-0.2939
42	NOT 100.00	22.189	0.3471	-0.0.849	-0.2961
43	NOT 100.00	21.426	0.3536	-0.0.932	-0.2983
44	NOT 100.00	20.704	0.3600	-0.1.256	-0.3010
45	NOT 100.00	20.003	0.3663	-0.1.599	-0.3033
46	NOT 100.00	19.327	0.3730	-0.1.966	-0.3061
47	NOT 100.00	18.675	0.3796	-0.1.355	-0.3088
48	NOT 100.00	18.045	0.3862	-0.1.765	-0.3113
49	NOT 100.00	17.437	0.3928	-0.1.194	-0.3142
50	NOT 100.00	16.849	0.3993	-0.1.642	-0.3169
51	NOT 100.00	16.281	0.4059	-0.1.108	-0.3196
52	NOT 100.00	15.732	0.4123	-0.1.590	-0.3222
53	NOT 100.00	15.702	0.4167	-0.1.089	-0.3249
54	NOT 100.00	14.689	0.4250	-0.1.605	-0.3273
55	NOT 100.00	14.194	0.4313	-0.1.126	-0.3300
56	NOT 100.00	13.715	0.4374	-0.1.682	-0.3325
57	NOT 100.00	13.253	0.4434	-0.1.243	-0.3349
58	NOT 100.00	12.807	0.4493	-0.1.818	-0.3373
59	NOT 100.00	12.375	0.4551	-0.1.408	-0.3396
60	NOT 100.00	11.960	0.4608	-0.1.011	-0.3418
61	NOT 100.00	11.910	0.4619	-0.1.964	-0.3421
62	NOT 1000.00	11.762	0.4636	-0.1.823	-0.3429
63	NOT 1000.00	11.493	0.4674	-0.1.366	-0.3443
64	NOT 1000.00	11.075	0.4733	-0.1.167	-0.3466
65	NOT 1000.00	10.712	0.4786	-0.1.820	-0.3486
66	NOT 1000.00	10.352	0.4839	-0.1.475	-0.3503
67	NOT 1000.00	10.007	0.4891	-0.1.143	-0.3524
68	NOT 1000.00	9.674	0.4942	-0.1.826	-0.3542
69	NOT 1000.00	9.152	0.4993	-0.1.517	-0.3560
70	NOT 1000.00	9.042	0.5042	-0.1.220	-0.3577
71	NOT 1000.00	8.742	0.5091	-0.1.932	-0.3594
72	NOT 1000.00	8.454	0.5139	-0.1.655	-0.3609
73	NOT 1000.00	8.319	0.5161	-0.1.536	-0.3617
74	NOT 10000.00	8.216	0.5179	-0.1.427	-0.3621
75	NOT 10000.00	8.028	0.5211	-0.1.241	-0.3631
76	NOT 10000.00	7.744	0.5261	-0.1.972	-0.3644
77	NOT 10000.00	7.495	0.5306	-0.1.733	-0.3663
78	NOT 10000.00	7.250	0.5351	-0.1.496	-0.3676
79	NOT 10000.00	7.014	0.5396	-0.1.269	-0.3689
80	NOT 10000.00	6.787	0.5440	-0.1.050	-0.3702
81	NOT 10000.00	6.568	0.5483	-0.1.818	-0.3714
82	NOT 10000.00	6.337	0.5526	-0.1.632	-0.3726
83	NOT 10000.00	6.153	0.5569	-0.1.437	-0.3737
84	NOT 10000.00	5.956	0.5611	-0.1.246	-0.3748
85	NOT 10000.00	5.647	0.5653	-0.1.040	-0.3754
86	NOT 50000.00	5.816	0.5642	-0.1.110	-0.3756
87	NOT 50000.00	5.736	0.5656	-0.0.932	-0.3759
88	NOT 50000.00	5.645	0.5681	-0.0.944	-0.3766
89	NOT 50000.00	5.454	0.5725	-0.1.759	-0.3776
90	NOT 50000.00	5.288	0.5766	-0.1.593	-0.3785

\*\*\*\*\* REQUESTED MEMORY ( STA-DIST ) = 2781 \*\*\*\*\*  
 FILLET MODEL R=30MM RANGE VER.4

## 表B-6 プリント出力(6)

## DISTRIBUTION OF TEMP. ALONG THICKNESS LINE ( L-111 ) (IN-ELASTIC)

NOT : 0.00

NOT : 50000.00

NO.	LENGTH	R-COORD	TEMP.
1	0.000	501.809	550.000
2	0.531	501.278	549.999
3	1.062	500.747	550.000
4	1.591	500.216	549.999
5	2.121	499.685	550.000
6	2.172	498.637	550.000
7	4.224	497.383	550.000
8	6.311	495.193	550.000
9	8.397	493.612	550.000
10	11.103	490.706	550.000
11	13.809	488.000	550.000
12	14.809	487.000	550.000
13	15.809	486.000	550.000
14	16.309	485.300	550.000
15	16.809	485.000	549.999

NO.	LENGTH	R-COORD	TEMP.
1	0.000	501.809	550.000
2	0.531	501.278	549.999
3	1.062	500.747	550.000
4	1.591	500.216	549.999
5	2.121	499.685	550.000
6	2.172	498.637	550.000
7	4.224	497.383	550.000
8	6.311	495.193	550.000
9	8.397	493.612	550.000
10	11.103	490.706	550.000
11	13.809	488.000	550.000
12	14.809	487.000	550.000
13	15.809	486.000	550.000
14	16.309	485.300	550.000
15	16.809	485.000	549.999

SURFACE - 1

	TEMP.
HEM	550.000
BEN	0.000
PEAK	-0.001
HEM+BEN	550.000
HEM+BEN+PEAK	550.000

	TEMP.
HEM	550.000
BEN	0.000
PEAK	-0.001
HEM+BEN	550.000
HEM+BEN+PEAK	550.000

SURFACE - 2

	TEMP.
HEM	550.000
BEN	0.000
PEAK	-0.001
HEM+BEN	550.000
HEM+BEN+PEAK	549.999

	TEMP.
HEM	550.000
BEN	0.000
PEAK	-0.001
HEM+BEN	550.000
HEM+BEN+PEAK	549.999

FILLET MODEL N=JOHN RANGE VER.4

## DISTRIBUTION OF STRAIN ALONG THICKNESS

## LINE ( L-111 ) ( IN-ELASTIC )

NOT : 0.00

NOT : 50000.00

NO.	LENGTH	R-COORD	EPS-R	EPS-Z	EPS-TN	EPS-RZ						
1	0.000	501.809	0.0000	0.0000	0.0000	1	0.000	501.809	-0.4529	0.2481	0.2295	-0.3850
2	0.531	501.278	0.0000	0.0000	0.0000	2	0.531	501.278	-0.4348	0.2308	0.2296	-0.3161
3	1.062	500.747	0.0000	0.0000	0.0000	3	1.062	500.747	-0.4108	0.2063	0.2304	-0.4767
4	1.591	500.216	0.0000	0.0000	0.0000	4	1.591	500.216	-0.3822	0.1780	0.2314	-0.4270
5	2.121	499.685	0.0000	0.0000	0.0000	5	2.119	499.685	-0.3607	0.1560	0.2321	-0.3001
6	2.172	498.637	0.0000	0.0000	0.0000	6	2.172	498.637	-0.3440	0.1069	0.2338	-0.3130
7	4.224	497.383	0.0000	0.0000	0.0000	7	4.224	497.383	-0.2769	0.0700	0.2351	-0.2934
8	6.311	495.193	0.0000	0.0000	0.0000	8	6.311	495.193	-0.2111	0.0046	0.2356	-0.1970
9	8.397	493.612	0.0000	0.0000	0.0000	9	8.397	493.612	-0.1364	0.0703	0.2374	-0.0936
10	11.103	490.706	0.0000	0.0000	0.0000	10	11.103	490.706	-0.0500	0.1668	0.2404	-0.0316
11	13.809	488.000	0.0000	0.0000	0.0000	11	13.809	488.000	0.0101	0.2810	0.2429	-0.0002
12	14.809	487.000	0.0000	0.0000	0.0000	12	14.809	487.000	0.0437	0.2944	0.2434	-0.0014
13	15.809	486.000	0.0000	0.0000	0.0000	13	15.809	486.000	0.0426	0.3358	0.2448	-0.0003
14	16.309	485.300	0.0000	0.0000	0.0000	14	16.309	485.300	0.0968	0.3310	0.2429	-0.0012
15	16.809	485.000	0.0000	0.0000	0.0000	15	16.809	485.000	0.1197	0.3707	0.2423	-0.0043

NO.	LENGTH	R-COORD	EPS-R	EPS-Z	EPS-TN	EPS-RZ						
1	0.000	501.809	0.0000	0.0000	0.0000	1	0.000	501.809	-0.1319	-0.0680	0.2377	-0.1529
2	0.531	501.278	0.0000	0.0000	0.0000	2	0.531	501.278	-0.2753	0.3029	-0.0074	-0.2651
3	1.062	500.747	0.0000	0.0000	0.0000	3	1.062	500.747	-0.0733	0.0131	-0.0008	-0.1677
4	1.591	500.216	0.0000	0.0000	0.0000	4	1.591	500.216	-0.4272	0.2350	-0.2102	-0.4181
5	2.121	499.685	0.0000	0.0000	0.0000	5	2.119	499.685	-0.006	0.5118	-0.4866	-0.1688
6	2.172	498.637	0.0000	0.0000	0.0000	6	2.172	498.637	-0.763	0.5112	-0.4737	-0.1580
7	4.224	497.383	0.0000	0.0000	0.0000	7	4.224	497.383	-0.763	0.5112	-0.4737	-0.1580
8	6.311	495.193	0.0000	0.0000	0.0000	8	6.311	495.193	-0.931	0.4009	0.5101	-0.1773
9	8.397	493.612	0.0000	0.0000	0.0000	9	8.397	493.612	-1.302	0.350	0.5101	-0.1773
10	11.103	490.706	0.0000	0.0000	0.0000	10	11.103	490.706	-0.672	0.4691	0.4987	-0.2144
11	13.809	488.000	0.0000	0.0000	0.0000	11	13.809	488.000	-0.360	-0.2661	0.2771	-0.103
12	14.809	487.000	0.0000	0.0000	0.0000	12	14.809	487.000	-0.151	-0.3546	0.1702	-0.0668
13	15.809	486.000	0.0000	0.0000	0.0000	13	15.809	486.000	-0.111	-0.4245	0.3557	-0.0193
14	16.309	485.300	0.0000	0.0000	0.0000	14	16.309	485.300	-0.113	-0.4118	0.0889	-0.0193

## DISTRIBUTION OF STRESS ALONG THICKNESS

## LINE ( L-111 ) ( IN-ELASTIC )

NOT : 0.00

NOT : 50000.00

NO.	LENGTH	R-COORD	SIG-R	SIG-Z	SIG-TN	SIG-RZ						
1	0.000	501.809	-0.000	0.000	0.000	1	0.000	501.809	0.710	0.285	0.1138	-1.910
2	0.531	501.278	-0.000	0.000	0.000	2	0.531	501.278	0.710	0.285	0.251	-1.800
3	1.062	500.747	-0.000	0.000	0.000	3	1.062	500.747	0.773	0.427	0.370	-1.772
4	1.591	500.216	-0.000	0.000	0.000	4	1.591	500.216	0.759	0.392	0.444	-1.776
5	2.121	499.685	-0.000	0.000	0.000	5	2.119	499.685	0.906	0.5118	0.4866	-1.688
6	2.172	498.637	-0.000	0.000	0.000	6	2.172	498.637	0.763	0.5112	0.4737	-1.580
7	4.224	497.383	-0.000	0.000	0.000	7	4.224	497.383	0.931	0.4009	0.5101	-1.773
8	6.311	495.193	-0.000	0.000	0.000	8	6.311	495.193	0.893	0.285	0.5101	-1.081
9	8.397	493.612	-0.000	0.000	0.000	9	8.397	493.612	1.302	0.350	0.4861	-0.711
10	11.103	490.706	-0.000	0.000	0.000	10	11.103	490.706	0.672	0.4691	0.4987	-0.2144
11	13.809	488.000	-0.000	0.000	0.000	11	13.809	488.000	0.360	-0.2661	0.2771	-0.103
12	14.809	487.000	-0.000	0.000	0.000	12	14.809	487.000	0.151	-0.3546	0.1702	-0.0668
13	15.809	486.000	-0.000	0.000	0.000	13	15.809	486.000	0.111	-0.4245	0.3557	-0.0193
14	16.309	485.300	-0.000	0.000	0.000	14	16.309	485.300	0.113	-0.4118	0.0889	-0.0193

## 表B-7 プリント出力(7)

15	16.000	485.000	0.000	0.000	0.000	0.000	15	16.000	485.000	0.031	+0.736	+0.365	+0.007
----	--------	---------	-------	-------	-------	-------	----	--------	---------	-------	--------	--------	--------

SURFACE - 1      EPS-R    EPS-Z    EPS-TN    EPS-BZ      EPS-R    EPS-Z    EPS-TN    EPS-BZ

REN	0.000	0.000	0.000	0.000	REN	0.731	2.746	4.241	-0.763
BEN	0.000	0.000	0.000	0.000	BEN	-0.164	-3.042	-1.963	-1.101
PEAK	0.000	0.000	0.000	0.000	PEAK	-0.187	-3.002	-2.068	-0.832
REN+BEN	0.000	0.000	0.000	0.000	REN+BEN	1.097	0.048	0.706	-1.963
REN+BEN+PEAK	0.000	0.000	0.000	0.000	REN+BEN+PEAK	0.710	2.743	4.138	-1.910

SURFACE - 2      EPS-R    EPS-Z    EPS-TN    EPS-BZ      EPS-R    EPS-Z    EPS-TN    EPS-BZ

REN	0.000	0.000	0.000	0.000	REN	0.731	2.746	4.241	-0.763
BEN	0.000	0.000	0.000	0.000	BEN	-0.164	-3.042	-1.963	-1.101
PEAK	0.000	0.000	0.000	0.000	PEAK	-0.187	-3.002	-2.068	-0.832
REN+BEN	0.000	0.000	0.000	0.000	REN+BEN	0.373	-3.321	-2.398	-0.369
REN+BEN+PEAK	0.000	0.000	0.000	0.000	REN+BEN+PEAK	0.058	-0.736	-0.365	-0.007

FILLET MODEL R-JOHN RANGE VER.4

## DISTRIBUTION OF STRAIN RANGE ALONG THICKNESS LINE ( L-111 ) (IN-ELASTIC)

HOT = 0.0 HOT = 50000.0

NO.	LENGTH	R-COORD	EPS-R	EPS-Z	EPS-TN	EPS-BZ
1	0.000	301.809	-0.4525	0.2481	0.2293	-0.3038
2	0.511	301.278	-0.4348	0.3304	0.2296	-0.5161
3	1.022	300.747	-0.4168	0.3063	0.2208	-0.4747
4	1.531	300.216	-0.3827	0.1780	0.2314	-0.4970
5	2.041	299.685	-0.3607	0.1560	0.2321	-0.3901
6	3.172	298.637	-0.3140	0.1069	0.2338	-0.3130
7	4.293	297.583	-0.2769	0.0700	0.2351	-0.2934
8	6.211	295.450	-0.2111	0.0046	0.2350	-0.1910
9	8.337	293.412	-0.1364	-0.0703	0.2374	-0.0636
10	11.103	290.706	-0.0580	-0.1688	0.2604	-0.0210
11	13.209	288.000	-0.0181	-0.2610	0.2629	-0.0007
12	14.309	287.000	0.0457	-0.2944	0.2434	0.0014
13	15.309	286.000	0.0876	-0.3358	0.2438	0.0003
14	16.309	285.300	0.0966	-0.3510	0.2439	-0.0012
15	16.809	285.000	0.1157	-0.3707	0.2423	-0.0043

SURFACE - 1      EPS-R    EPS-Z    EPS-TN    EPS-BZ

REN	-0.1519	-0.0680	0.2377	-0.1529
BEN	-0.2733	0.3029	-0.0074	-0.2691
PEAK	-0.0253	0.0121	-0.0008	-0.1677
REN+BEN	-0.4272	0.2330	0.2302	-0.4181
REN+BEN+PEAK	-0.4329	0.2481	0.2293	-0.3638

SURFACE - 2      EPS-R    EPS-Z    EPS-TN    EPS-BZ

REN	-0.1519	-0.0680	0.2377	-0.1529
BEN	0.2222	-0.2955	0.0073	0.2622
PEAK	-0.0047	-0.0032	-0.0023	-0.1137
REN+BEN	0.1204	-0.3675	0.2450	0.1093
REN+BEN+PEAK	0.1157	-0.3707	0.2423	-0.0043

表 C-1 變数名(タイトル)と識別番号の対応(1)

FT01(11) 板厚内分布

j : 時点 A, B, (順に 1 ~ . . . ) k : 質量断面 (順に 1 ~ . . . )

YVALU j=1, 2, 4 ~ 9 のとき

j=3 の場合

番号	タイトル
ijk01	TEMPjk
ijk02	LTEMPjk
ijk03	MTEMPjk
ijk04	BTEMPjk
ijk05	FTBMPjk
ijk11	BPSBQjk
ijk21	SIGBQjk
ijk30	BPS1jk
ijk31	BPS2jk
ijk32	BPS3jk
ijk33	BPS4jk
ijk35	LEPS1jk
ijk36	LEPS2jk
ijk37	LEPS3jk
ijk38	LEPS4jk
ijk40	MEPS1jk
ijk41	MEPS2jk
ijk42	MEPS3jk
ijk43	MEPS4jk

番号	タイトル
ijk45	BBPS1jk
ijk46	BBPS2jk
ijk47	BBPS3jk
ijk48	BBPS4jk
ijk50	BPBS1jk
ijk51	BPBS2jk
ijk52	BPBS3jk
ijk53	BPBS4jk
ijk55	BP1jk
ijk56	BP2jk
ijk57	BP3jk
ijk58	BP4jk
ijk60	BC1jk
ijk61	BC2jk
ijk62	BC3jk
ijk63	BC4jk
ijk65	STRS1jk
ijk66	STRS2jk
ijk67	STRS3jk
ijk68	STRS4jk

番号	タイトル
ijk70	LSTRS1jk
ijk71	LSTRS2jk
ijk72	LSTRS3jk
ijk73	LSTRS4jk
ijk75	MSTRS1jk
ijk76	MSTRS2jk
ijk77	MSTRS3jk
ijk78	MSTRS4jk
ijk80	BSTRS1jk
ijk81	BSTRS2jk
ijk82	BSTRS3jk
ijk83	BSTRS4jk
ijk85	PSTRS1jk
ijk86	PSTRS2jk
ijk87	PSTRS3jk
ijk88	PSTRS4jk

番号	タイトル
ijk30	DBPS1jk
ijk31	DBPS2jk
ijk32	DBPS3jk
ijk33	DBPS4jk
ijk35	DLEPS1jk
ijk36	DLEPS2jk
ijk37	DLEPS3jk
ijk38	DLEPS4jk
ijk40	DMEPS1jk
ijk41	DMEPS2jk
ijk42	DMEPS3jk
ijk43	DMEPS4jk
ijk45	DBEPS1jk
ijk46	DBEPS2jk
ijk47	DBEPS3jk
ijk48	DBEPS4jk
ijk50	DPEPS1jk
ijk51	DPEPS2jk
ijk52	DPEPS3jk
ijk53	DPEPS4jk
ijk55	DEP1jk
ijk56	DEP2jk
ijk57	DEP3jk
ijk58	DEP4jk
ijk60	DEC1jk
ijk61	DEC2jk
ijk62	DEC3jk
ijk63	DEC4jk

表C-2 變数名(タイトル)と識別番号の対応(2)

## FT02(12) 長手方向分布

j : 時点 A, B, C, D, E, F, G, H, I, J, K, L (順に 1, 2, ..., 12)

L : L=1  $\Rightarrow$  L=2  $\Rightarrow$  0

YVALU j=1, 2, 4 ~ 9 のとき

j=3 の場合

番号	タイトル
ij01L	TBMPjL
ij02L	LTBMPjL
ij03L	MTEMPjL
ij04L	BTEMPjL
ij05L	PTEMPjL
ij30L	BPS1jL
ij31L	BPS2jL
ij32L	BPS3jL
ij33L	BPS4jL
ij35L	LEPS1jL
ij36L	LEPS2jL
ij37L	LEPS3jL
ij38L	LEPS4jL
ij40L	MEPS1jL
ij41L	MEPS2jL
ij42L	MEPS3jL
ij43L	MEPS4jL
ij45L	BEPS1jL
ij46L	BEPS2jL
ij47L	BEPS3jL
ij48L	BEPS4jL

番号	タイトル
ij50L	PBPS1jL
ij51L	PBPS2jL
ij52L	PBPS3jL
ij53L	PBPS4jL
ij55L	BP1jL
ij56L	BP2jL
ij57L	BP3jL
ij58L	BP4jL
ij60L	BC1jL
ij61L	BC2jL
ij62L	BC3jL
ij63L	BC4jL
ij65L	STRS1jL
ij66L	STRS2jL
ij67L	STRS3jL
ij68L	STRS4jL
ij70L	LSTRS1jL
ij71L	LSTRS2jL
ij72L	LSTRS3jL
ij73L	LSTRS4jL

番号	タイトル
ij75L	MSTRS1jL
ij76L	MSTRS2jL
ij77L	MSTRS3jL
ij78L	MSTRS4jL
ij80L	BSTRS1jL
ij81L	BSTRS2jL
ij82L	BSTRS3jL
ij83L	BSTRS4jL
ij85L	FSTRS1jL
ij86L	FSTRS2jL
ij87L	FSTRS3jL
ij88L	FSTRS4jL

番号	タイトル
ij01L	DLTBMPjL
ij02L	DPTBMPjL
ij11L	DBPSjL
ij12L	DBPSNJL
ij13L	DBPSFjL
ij14L	DBPSN1jL
ij15L	DBPSF1jL
ij16L	DBPSPJL
ij17L	DBPSCjL
ij21L	VMSjL
ij22L	DSIGBQNjL
ij23L	TRBSjL
ij24L	DTRBSNJL
ij25L	DSGB/2SYjL
ij26L	DEPS/2EYjL
ij27L	TSIGBQjL
ij28L	DSIGCjL
ij29L	DEPSCjL
ij30L	DEPS1jL
ij31L	DEPS2jL
ij32L	DEPS3jL
ij33L	DEPS4jL
ij35L	DLEPS1jL
ij36L	DLEPS2jL
ij37L	DLEPS3jL
ij38L	DLEPS4jL

表C-3 変数名(タイトル)と識別番号の対応(3)

j=3 の場合

番号	タイトル
ij40L	DMEPS1jL
ij41L	DMEPS2jL
ij42L	DMEPS3jL
ij43L	DMEPS4jL
ij45L	DBEPS1jL
ij46L	DBEPS2jL
ij47L	DBEPS3jL
ij48L	DBEPS4jL
ij50L	DFEPS1jL
ij51L	DFEPS2jL
ij52L	DFEPS3jL
ij53L	DFEPS4jL
ij55L	DEP1jL
ij56L	DEP2jL
ij57L	DEP3jL
ij58L	DEP4jL
ij60L	DEC1jL
ij61L	DEC2jL
ij62L	DEC3jL
ij63L	DEC4jL
ij70L	KEjL
ij71L	KENjL

番号	タイトル
ij72L	KBRjL
ij73L	KBN1jL
ij74L	KBR1jL
ij75L	KBZMJL
ij76L	KBZBjL
ij77L	KBTMJL
ij78L	KBTBjL
ij79L	KBPSjL
ij80L	QBPjL
ij81L	QBNjL
ij82L	QBPpjL
ij83L	QBN1jL
ij84L	QBPPIjL
ij85L	QBPZMJL
ij86L	QBPZBjL
ij87L	QBP TMjL
ij88L	QBP TBjL
ij90L	QBCjL

表C-4 记数名(タイトル)と識別番号の対応(4)

FT03(13) 時刻歴

j : 評価断面 (順に 1 ~ . . . ) L : L=1  $\Rightarrow$  1 L=2  $\Rightarrow$  0

Y V A L U

番号	タイトル	番号	タイトル	番号	タイトル
ij01L	TBMPjL	ij50L	FBPS1jL	ij80L	BSTRS1jL
ij02L	LTBMPjL	ij51L	FBPS2jL	ij81L	BSTRS2jL
ij03L	MTBMPjL	ij52L	FBPS3jL	ij82L	BSTRS3jL
ij04L	BTBMPjL	ij53L	FBPS4jL	ij83L	BSTRS4jL
ij05L	RTBMPjL	ij55L	EP1jL	ij85L	PSTRS1jL
ij10L	MISBSjL	ij56L	EP2jL	ij86L	PSTRS2jL
ij11L	EPSBQjL	ij57L	EP3jL	ij87L	PSTRS3jL
ij21L	SIGBQjL	ij58L	EP4jL	ij88L	PSTRS4jL
ij30L	BPS1jL	ij60L	EC1jL		
ij31L	BPS2jL	ij61L	EC2jL		
ij32L	BPS3jL	ij62L	EC3jL		
ij33L	BPS4jL	ij63L	EC4jL		
ij35L	LEPS1jL	ij65L	STRS1jL		
ij36L	LEPS2jL	ij66L	STRS2jL		
ij37L	LEPS3jL	ij67L	STRS3jL		
ij38L	LEPS4jL	ij68L	STRS4jL		
ij40L	MEPS1jL	ij70L	LSTRS1jL		
ij41L	MEPS2jL	ij71L	LSTRS2jL		
ij42L	MEPS3jL	ij72L	LSTRS3jL		
ij43L	MEPS4jL	ij73L	LSTRS4jL		
ij45L	BEPS1jL	ij75L	MSTRS1jL		
ij46L	BEPS2jL	ij76L	MSTRS2jL		
ij47L	BEPS3jL	ij77L	MSTRS3jL		
ij48L	BEPS4jL	ij78L	MSTRS4jL		

表C-5 條款名(タイトル)と識別番号の対応(6)

FT04 (14) 履歴

j : 評価断面(順に1~...)

L : L=1 ⇒ 1 L=2 ⇒ 0

YVALU

番号	タイトル
ij01L	DLTBMPjL
ij02L	DPTBMPjL
ij11L	DBBPCBQjL
ij12L	DBPSNjL
ij13L	DBPSPjL
ij14L	DBPSN1jL
ij15L	DBPSP1jL
ij16L	DBPSPjL
ij17L	DBPSCjL
ij18L	DBN/2EYjL
ij19L	DBN1/2EYjL
ij20L	DBNB/2SYjL
ij21L	DSIGBQjL
ij22L	DSIGBQNjL
ij23L	DTRESjL
ij24L	DTRESNjL
ij25L	DSGE/2SYjL
ij26L	DEPS/2EYjL
ij27L	TSIGBQjL
ij28L	DSIGCjL
ij29L	DEPSCjL

番号	タイトル
ij30L	DBEPS1jL
ij31L	DBEPS2jL
ij32L	DBEPS3jL
ij33L	DBEPS4jL
ij35L	DLEPS1jL
ij36L	DLEPS2jL
ij37L	DLEPS3jL
ij38L	DLEPS4jL
ij40L	DMEPS1jL
ij41L	DMEPS2jL
ij42L	DMEPS3jL
ij43L	DMEPS4jL
ij45L	DBEPS1jL
ij46L	DBEPS2jL
ij47L	DBEPS3jL
ij48L	DBEPS4jL
ij50L	DFEPS1jL
ij51L	DFEPS2jL
ij52L	DFEPS3jL
ij53L	DFEPS4jL

番号	タイトル
ij55L	DBP1jL
ij56L	DBP2jL
ij57L	DBP3jL
ij58L	DBP4jL
ij60L	DEC1jL
ij61L	DEC2jL
ij62L	DEC3jL
ij63L	DEC4jL
ij70L	KBJL
ij71L	KENjL

番号	タイトル
ij72L	KBPjL
ij73L	KBN1jL
ij74L	KBF1jL
ij75L	KBMjL
ij76L	KBZBjL
ij77L	KBTMjL
ij78L	KETBjL
ij79L	KEPSjL
ij80L	QBPjL
ij81L	QBNjL
ij82L	QBPpjL
ij83L	QBN1jL
ij84L	QBPpjL
ij85L	QBPZMjL
ij86L	QBPZBjL
ij87L	QBPtmjL
ij88L	QEPtbjL
ij90L	QECjL
ij91L	DE/DBNBjL
ij92L	DE/DBN1EjL
ij95L	KjL

表C-6 變数名(タイトル)と識別番号の対応⑥

FT09(19) 分布

j : 時点A, B, C (順に1, 2, ..., L : L=1  $\Rightarrow$  1 L=2  $\Rightarrow$  0)

YVALU

番号	タイトル
ij30L	BB1jL
ij31L	BB2jL
ij32L	BB3jL
ij33L	BB4jL
ij55L	BP1jL
ij56L	BP2jL
ij57L	BP3jL
ij58L	BP4jL
ij60L	EC1jL
ij61L	EC2jL
ij62L	EC3jL
ij63L	EC4jL
ij65L	STRS1jL
ij66L	STRS2jL
ij67L	STRS3jL
ij68L	STRS4jL
ij70L	LSTRS1jL
ij71L	LSTRS2jL
ij72L	LSTRS3jL
ij73L	LSTRS4jL

番号	タイトル
ij75L	MSTRS1jL
ij76L	MSTRS2jL
ij77L	MSTRS3jL
ij78L	MSTRS4jL